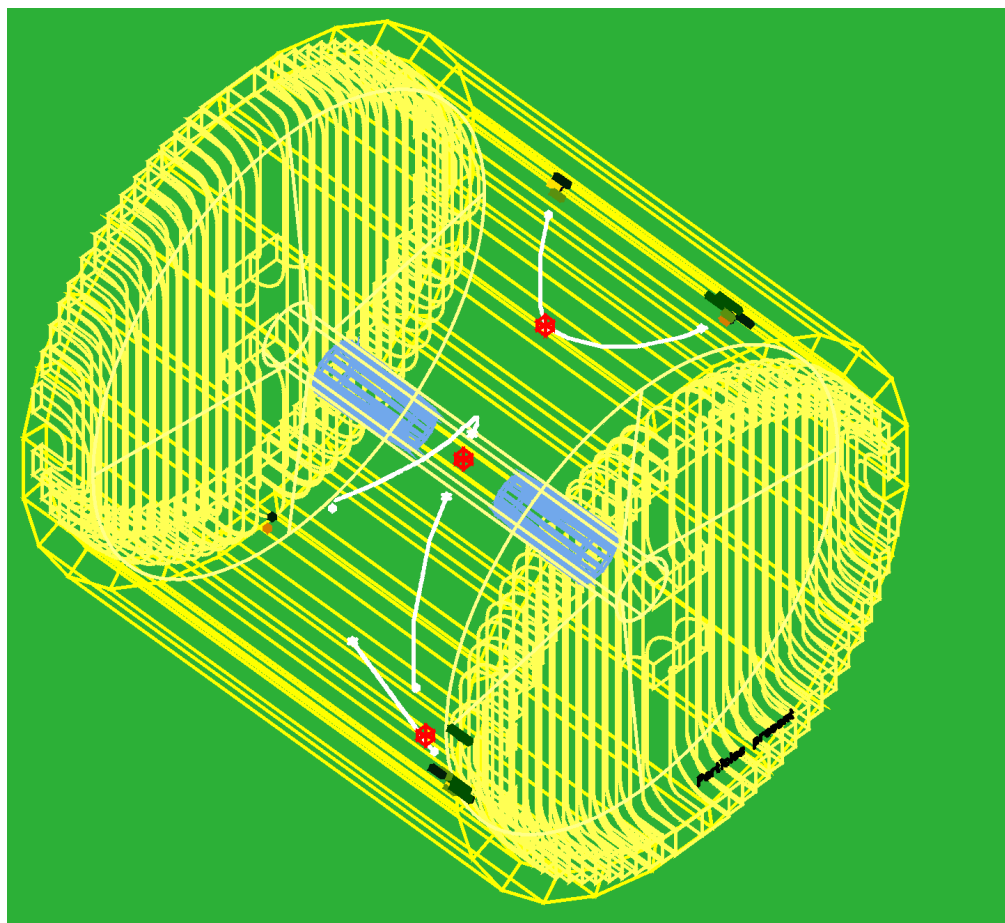


# Analisi Dati (Esperimento KLOE)



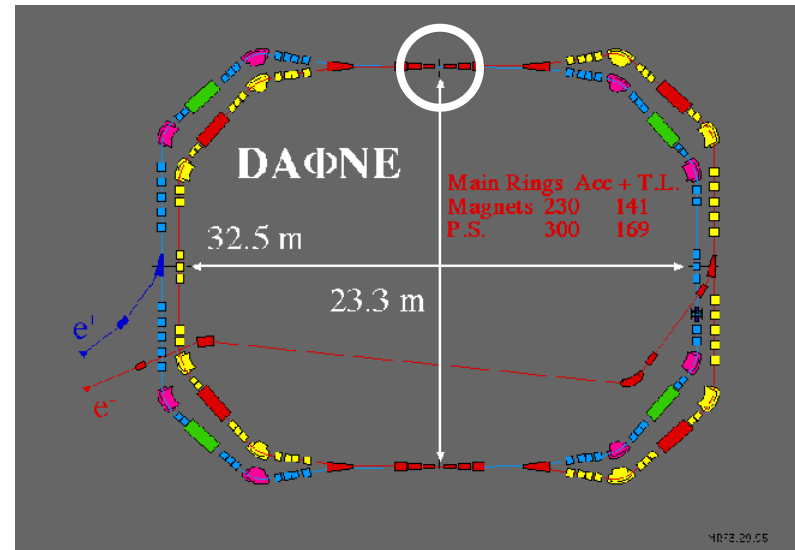
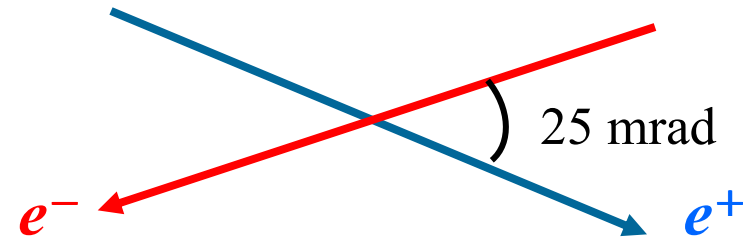
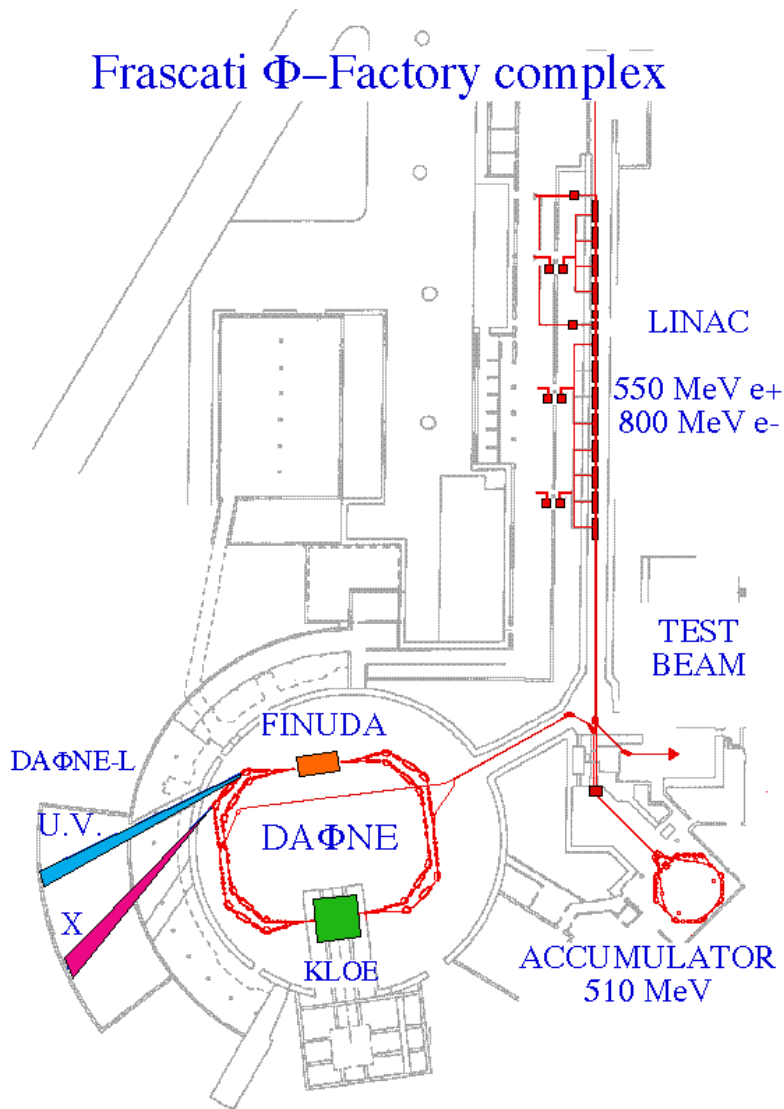
**Analisi cinematica del  
decadimento dei  
mesoni K carichi con i  
dati dell'esperimento  
KLOE**

**M. Palutan  
B. Sciascia**



**Incontri di Fisica 2007  
Laboratori Nazionali di Frascati**

# $\Pi$ collisore $DA\Phi NE$

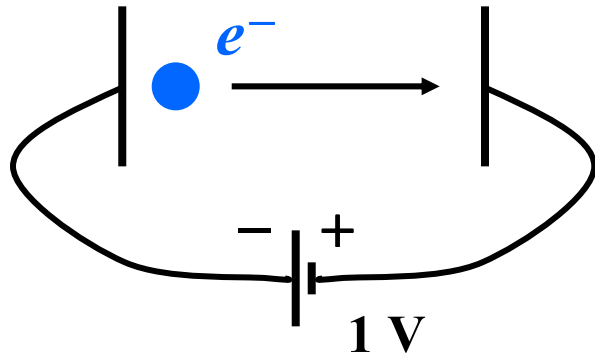


$$E^+ = E^- = 510 \text{ MeV}$$

$$E_{\text{tot}}(\text{CM}) \approx 1019.5 \text{ MeV} = M_{\phi}$$

# Unità di misura per energia, massa, impulso

Misura comoda per l'energia di un elettrone:



*Elettronvolt (eV)*

Energia di un elettrone accelerato da un potenziale di 1 volt

Useremo più spesso: keV, **MeV**, GeV

Quanto “pesa” un elettrone?

$$9.11 \times 10^{-31} \text{ kg}$$

Rapporto tra massa di una particella e la sua energia da ferma:

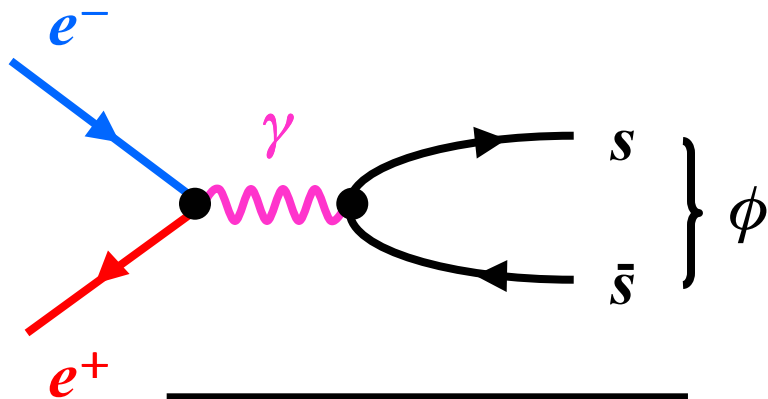
$$***E = mc^2***$$

La massa si può esprimere in unità di energia: **MeV/c<sup>2</sup>**

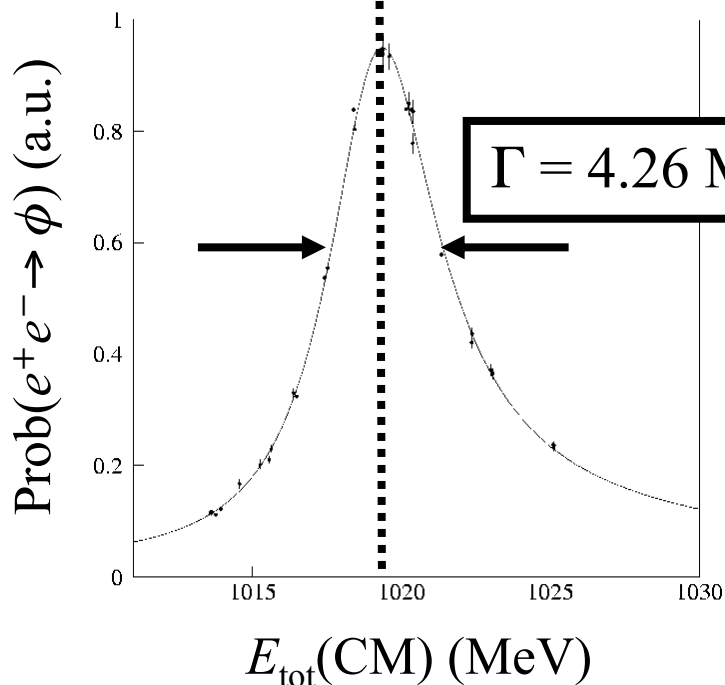
**Quanto pesa un elettrone?      **0.511 MeV/c<sup>2</sup>****

Spesso tralasciamo la  $c$  e parliamo di energie, impulsi e masse in **MeV**

# Produzione e decadimento del mesone $\phi$



$$M = 1019.456 \text{ MeV}$$



Il mesone  $\phi$  è instabile, e decade in un tempo  $\tau = 1.6 \times 10^{-22}$  s, creando stati finali con altre particelle (mesoni  $\mathbf{K}$ , mesoni  $\boldsymbol{\pi}$ ); I modi di decadimento dominanti sono:

- 1)  $\phi \rightarrow K^+ K^-$     **49.1 %**
- 2)  $\phi \rightarrow \bar{K}^0 K^0$     **34.1 %**

# Mesoni e barioni

## i Quark

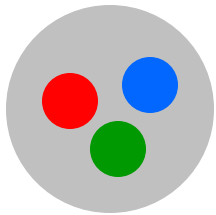
$q = +2/3e$	<b><i>u</i></b>	<b><i>c</i></b>	<b><i>t</i></b>
$q = -1/3e$	<b><i>d</i></b>	<b><i>s</i></b>	<b><i>b</i></b>

Tutti le particelle di materia hanno:

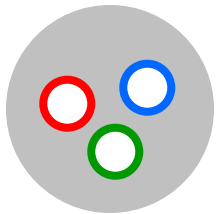
- spin
- antiparticelle di carica opposta

I quark possiedono anche carica di colore  
 Gli stati legati (*adroni*) sono di colore neutro

### Barioni (spin 1/2, 3/2, ecc.)

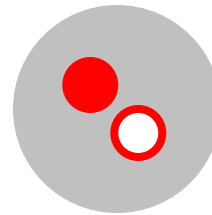


protone ( $uud$ )  
 neutrone ( $udd$ )

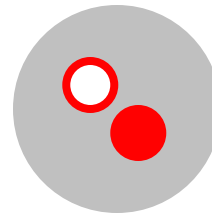


antiprotone ( $\bar{u}\bar{u}\bar{d}$ )  
 antineutrone ( $\bar{u}\bar{d}\bar{d}$ )

### Mesoni (spin 0, 1, ecc.)

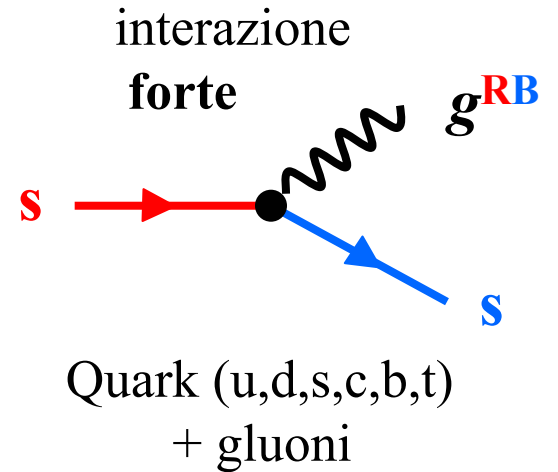
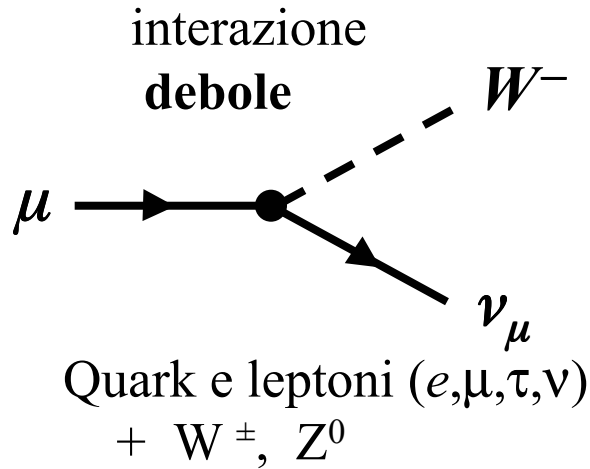
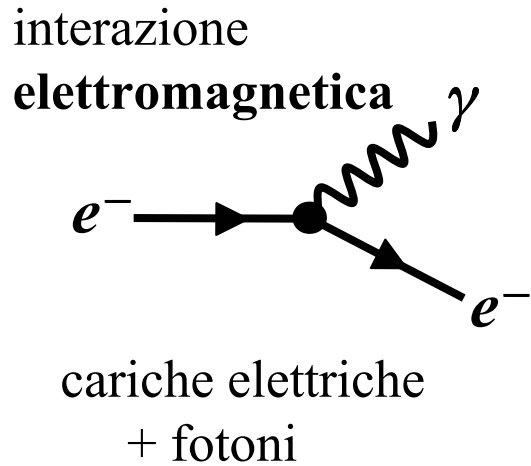


$K^+$   $\bar{u}s$  *particella*  
 $\pi^+$   $\bar{u}d$

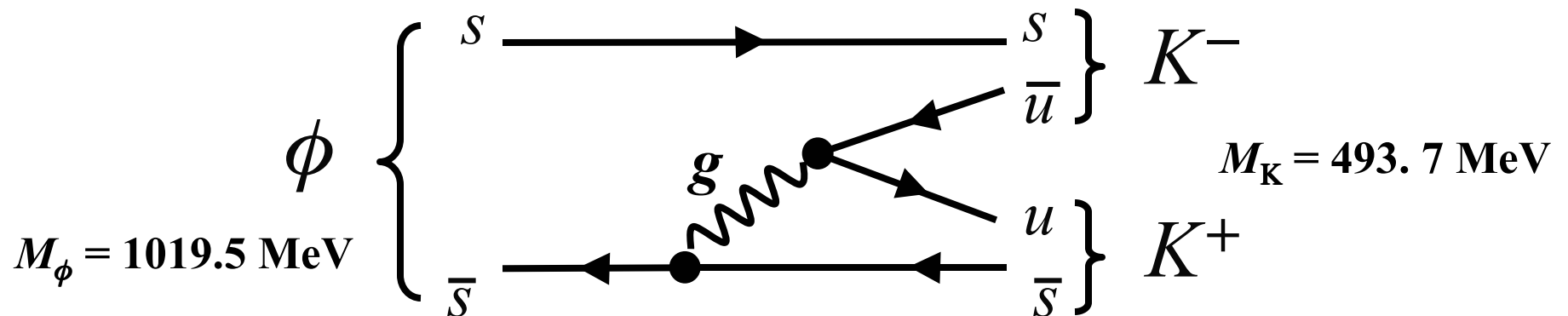


$K^-$   $\bar{u}s$  *anti-particella*  
 $\pi^-$   $\bar{u}d$

# Interazioni fondamentali $\longleftrightarrow$ decadimenti



## Decadimento $\phi \rightarrow K^+ K^-$ (interazione forte)

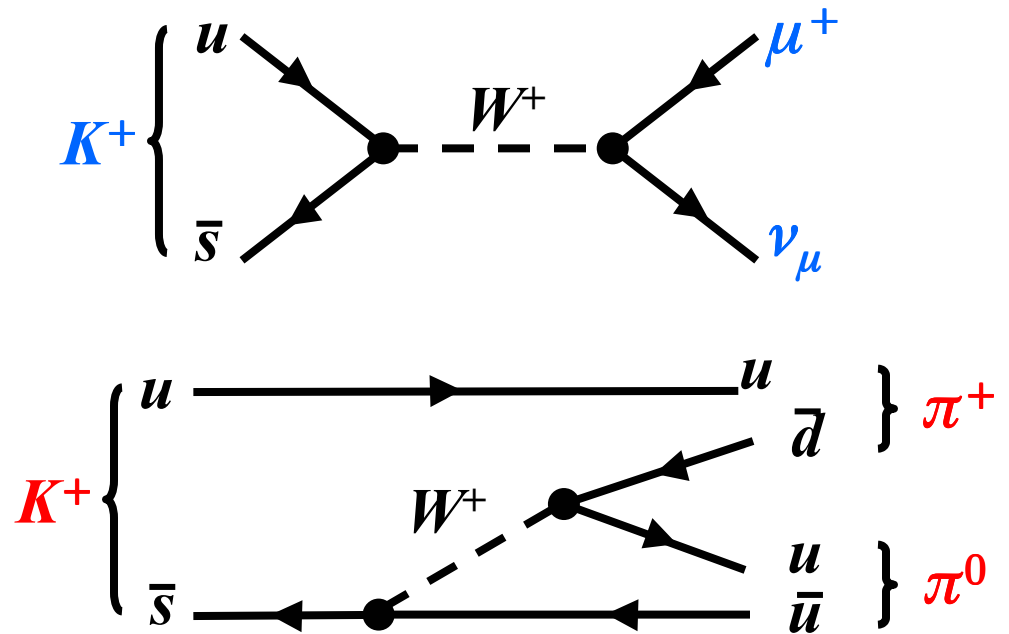
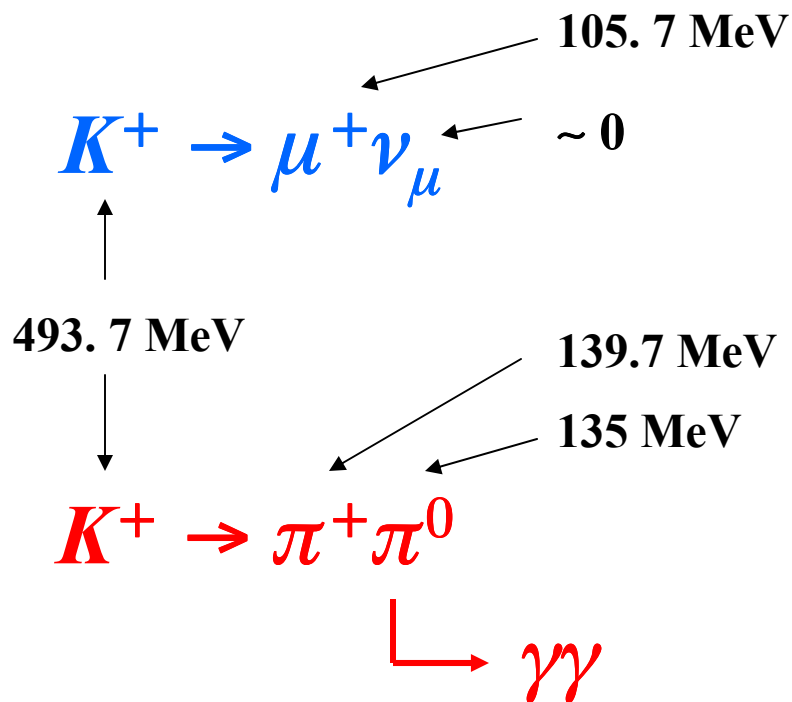


# Decadimento dei mesoni $K^+$ e $K^-$

I decadimenti del  $K$  avvengono per effetto dell'interazione debole in un tempo  $\tau = 1.2 \times 10^{-8}$  s; **scopo della nostra esercitazione è l'identificazione dei decadimenti a due corpi**

Decadimenti del  $K^+$

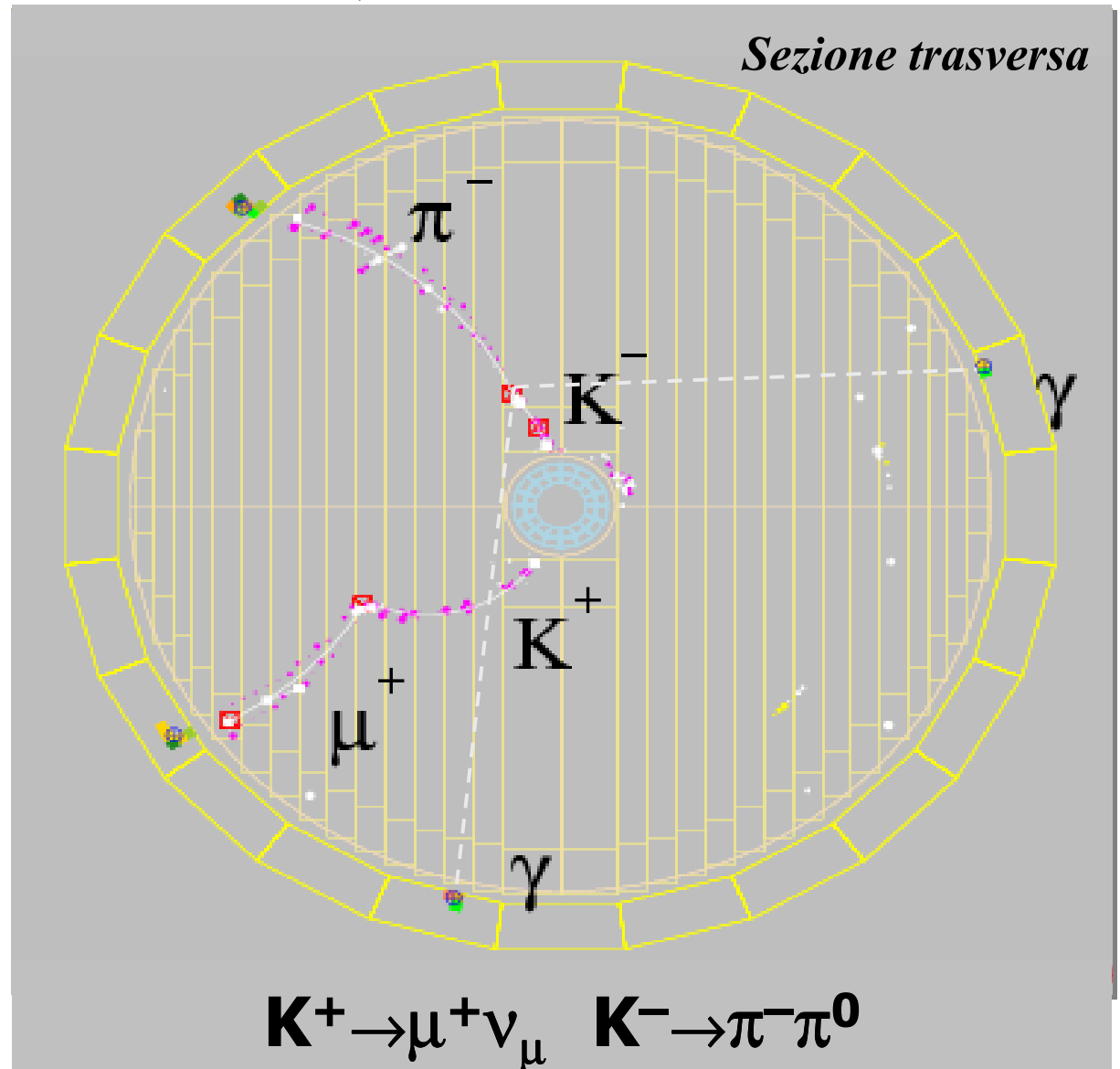
Modo	Prob (%)
$K^+ \rightarrow \mu^+ \nu_\mu$	63.43
$K^+ \rightarrow \pi^+ \pi^0$	21.13
$K^+ \rightarrow 3$ corpi	15.44



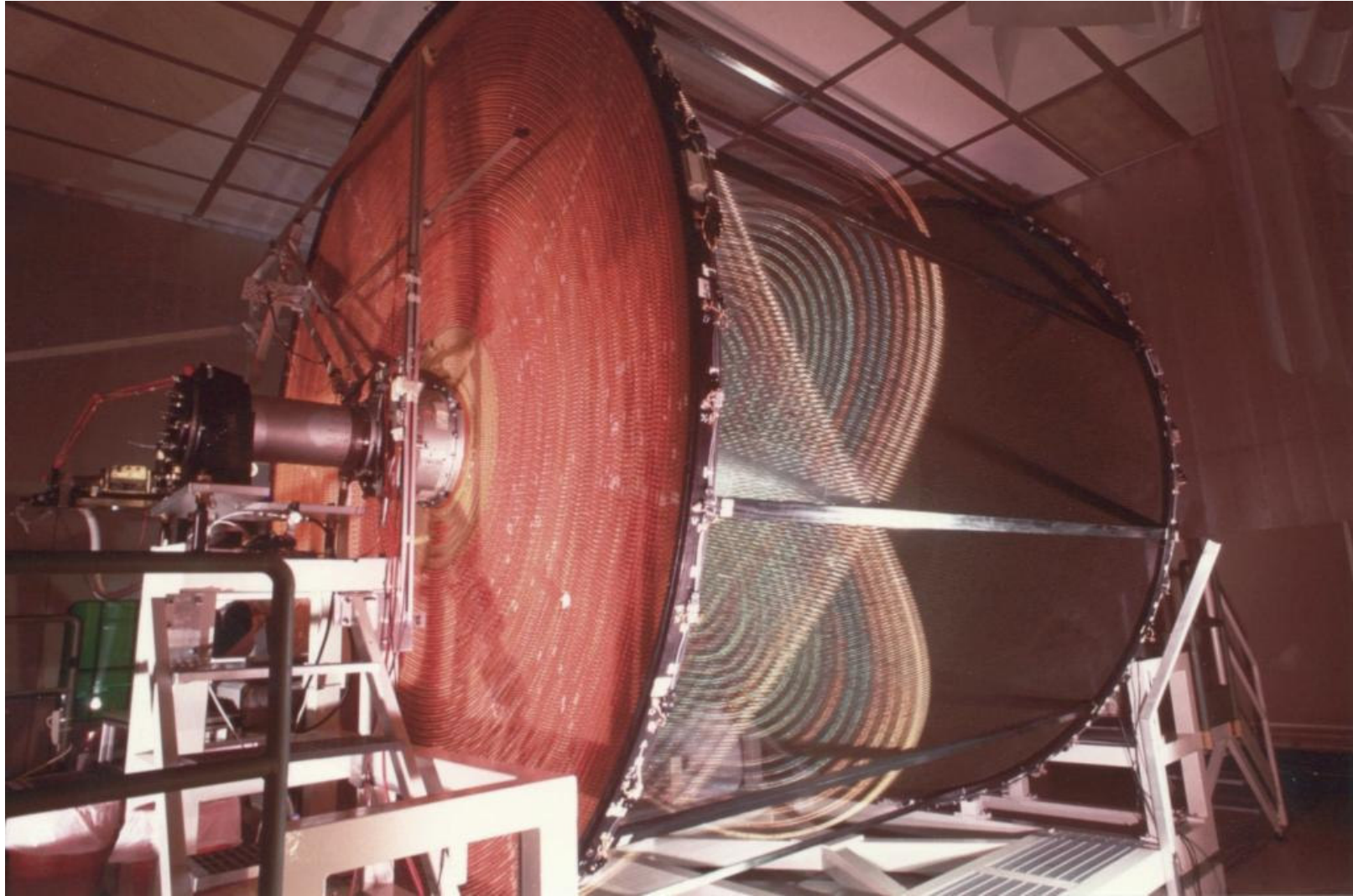
# Evento $\phi \rightarrow K^+ K^- \rightarrow \mu^+ \nu_\mu \pi^- \pi^0$ in KLOE

1) Le particelle cariche vengono “tracciate” nella zona centrale del rivelatore (*camera a deriva*).

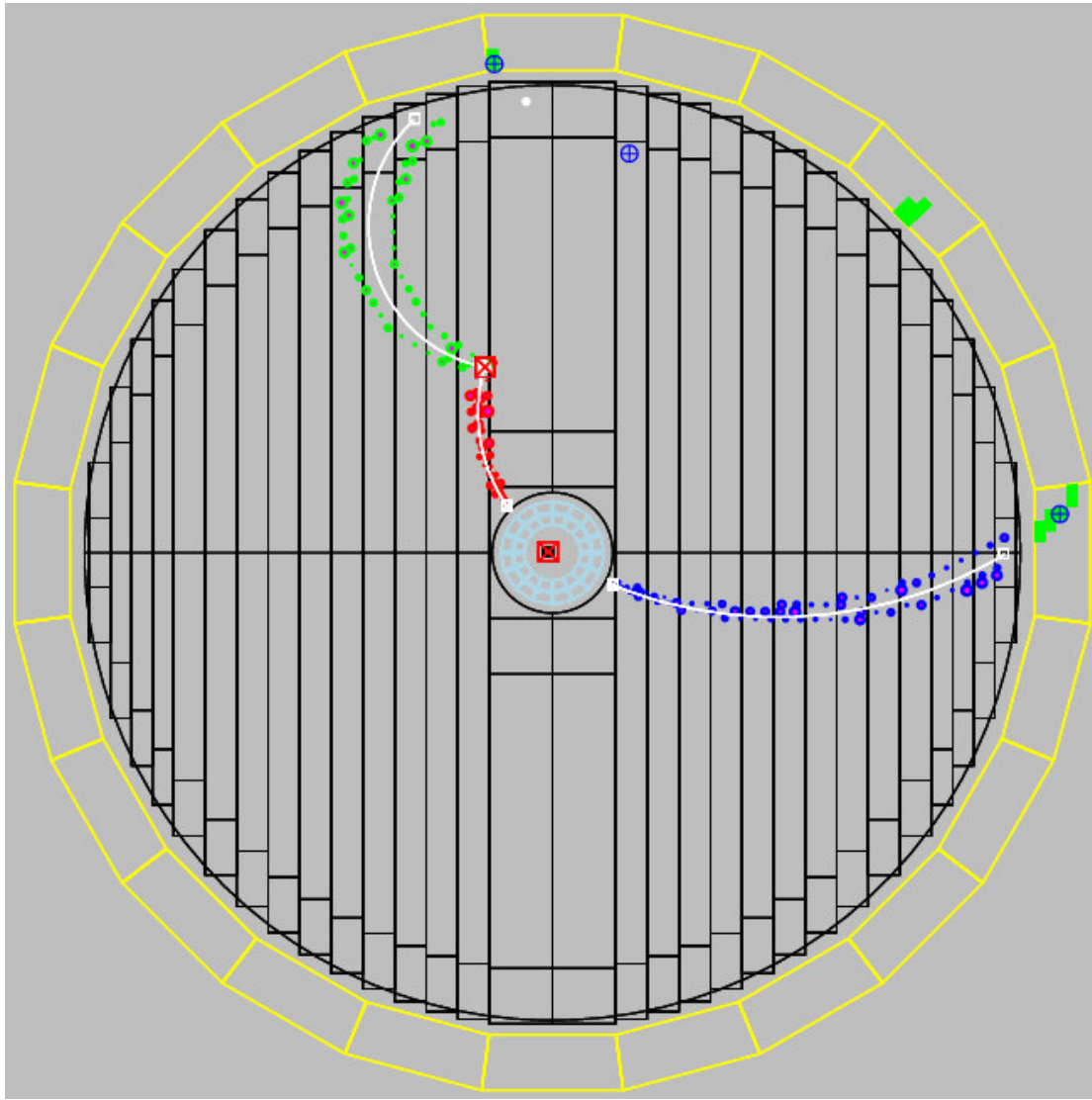
2) L’involucro esterno (*calorimetro*) misura l’energia rilasciata dalle particelle (neutre e cariche), e il tempo.



# La camera a deriva di KLOE

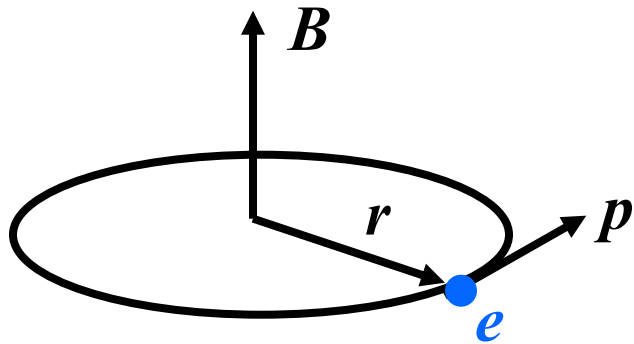


# Tracciamento di particelle cariche



1. Si ricostruiscono i raggi di deriva dei fili colpiti (gli *hits*) in base ai relativi tempi
2. Si raccolgono gli *hits* che appartengono alle stesse tracce in *pattern*
3. Si disegnano le tracce e si individuano i vertici.

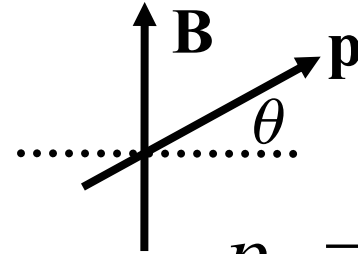
# Ricostruzione dell'impulso



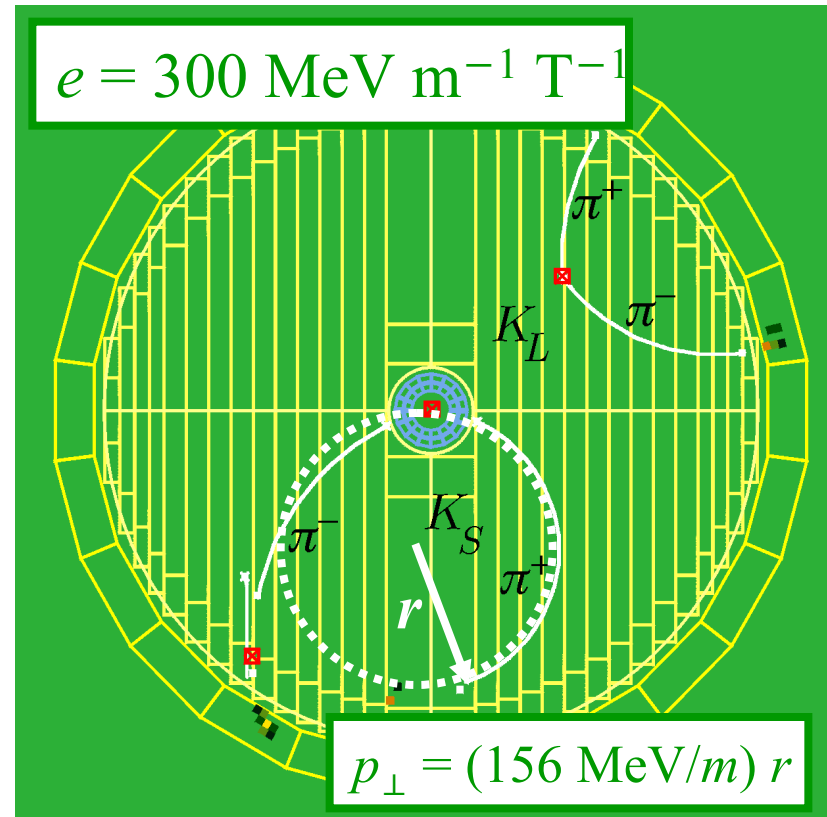
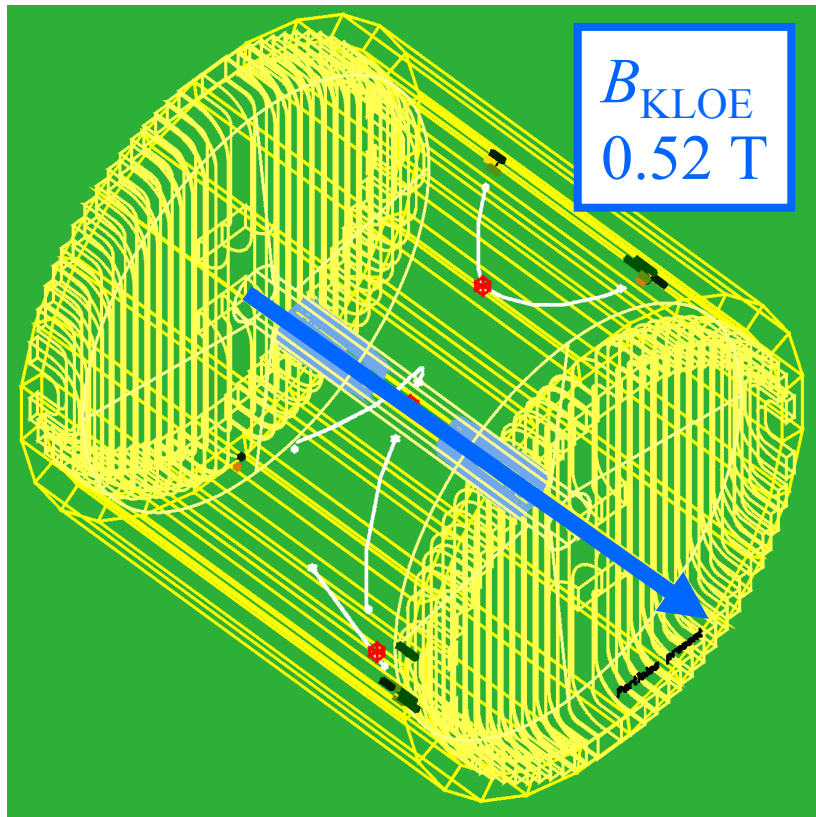
$$F_{\text{acc}} = mv^2/r$$

$$F_B = evB$$

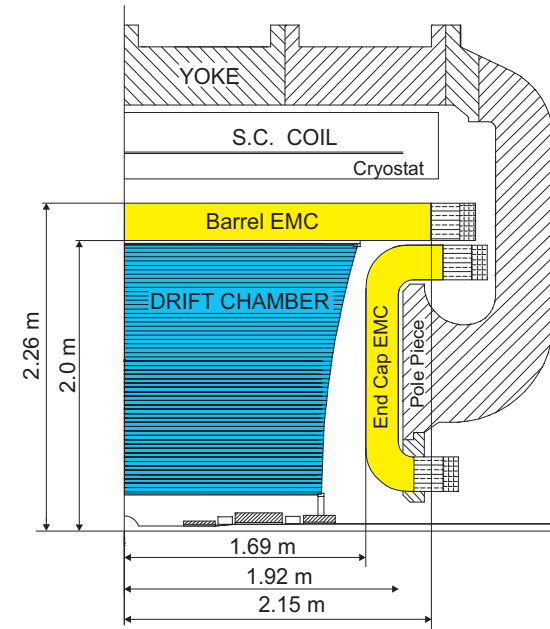
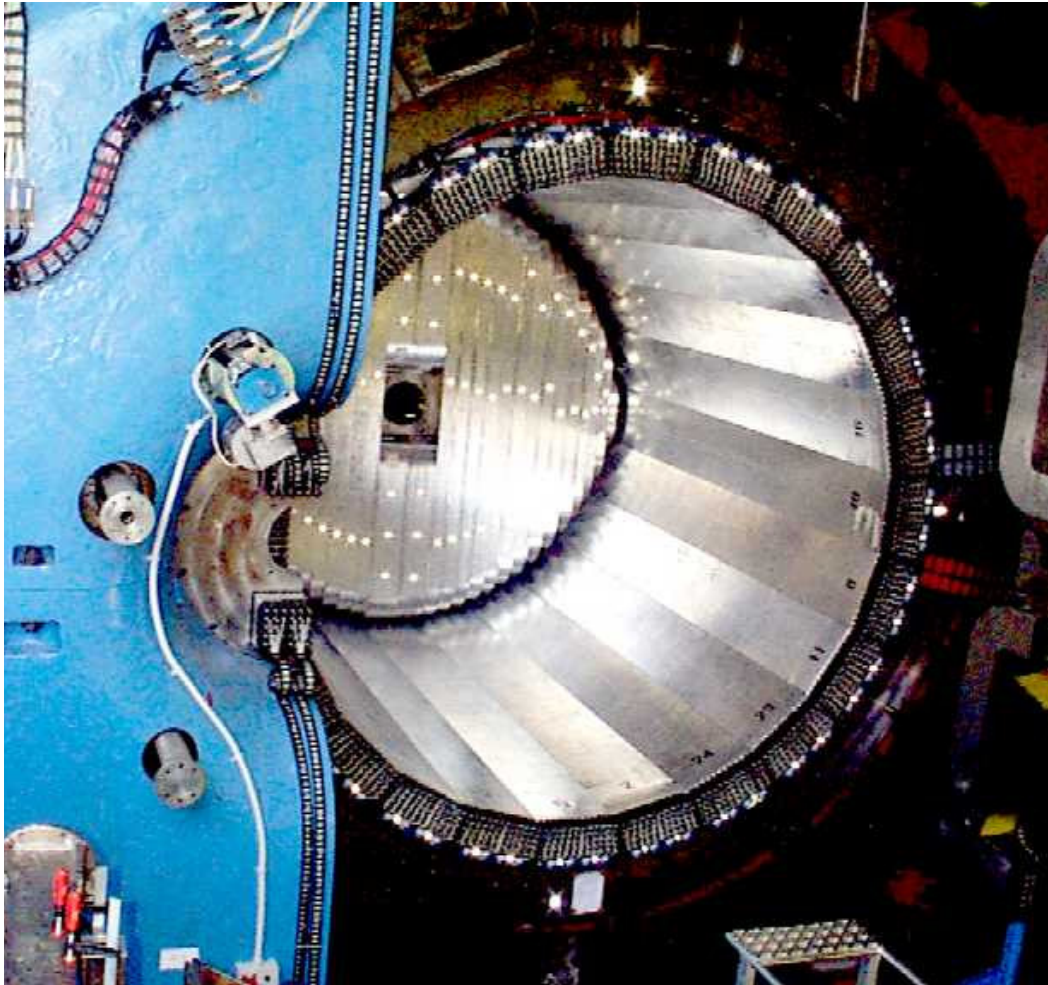
$$p_{\perp} = erB$$



$$p_L = p_{\perp} \tan \theta$$



# Il calorimetro KLOE



# Calorimetri elettromagnetici: un esempio

Calorimetro eterogeneo a strati di  
assorbitore/scintillatore

Assorbitore

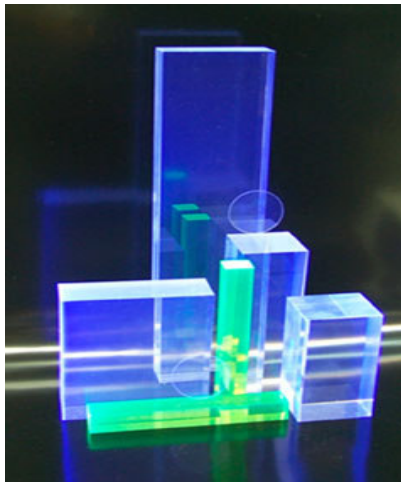
Materiale denso, alto Z  
Fe, Pb, ecc.

*Provoca lo sciame*

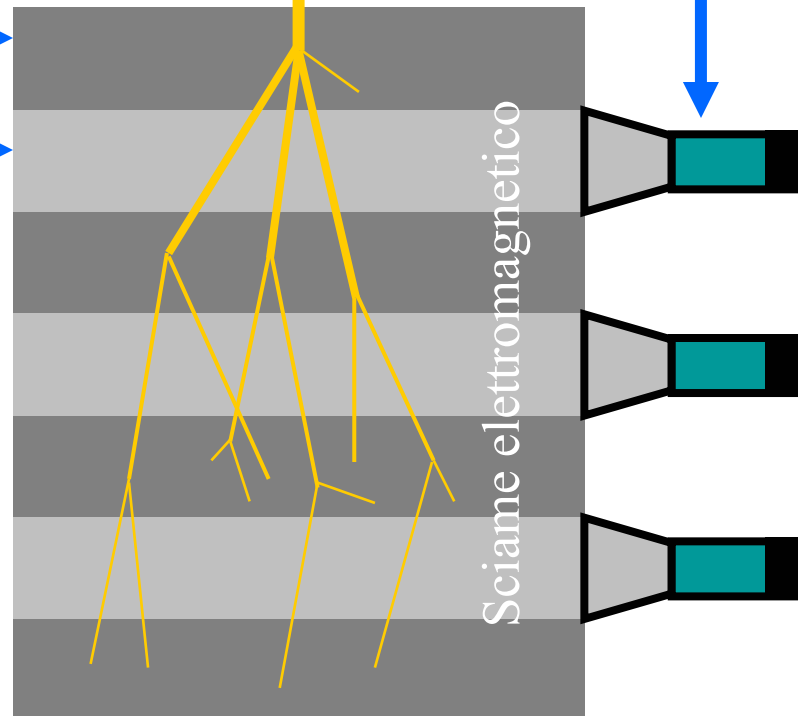
Scintillatore

Polistirene drogato

*Dà luce al passaggio di  
una particella carica*

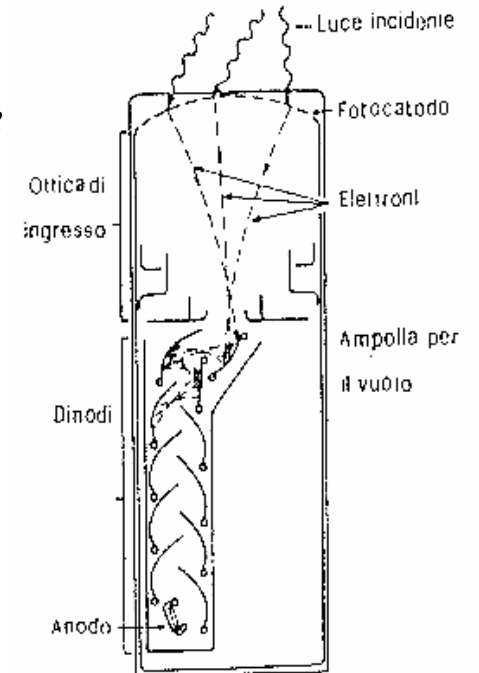


Fotone o  
elettrone  
incidente

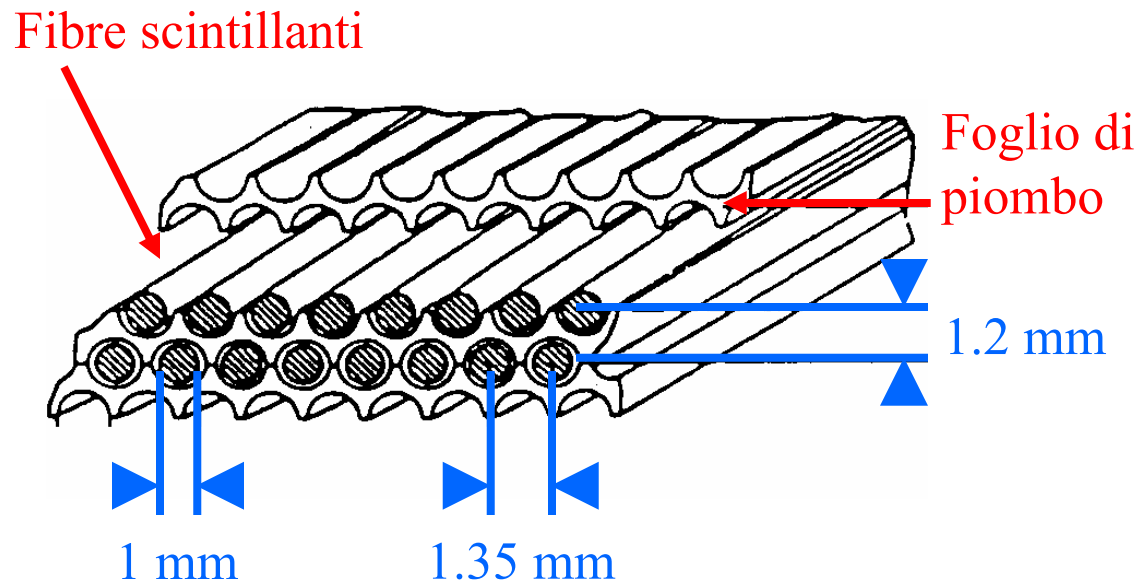


Fotomoltiplicatori  
(PMT)

*Convertono la luce  
di scintillazione in  
segnali elettrici*



# Il calorimetro KLOE

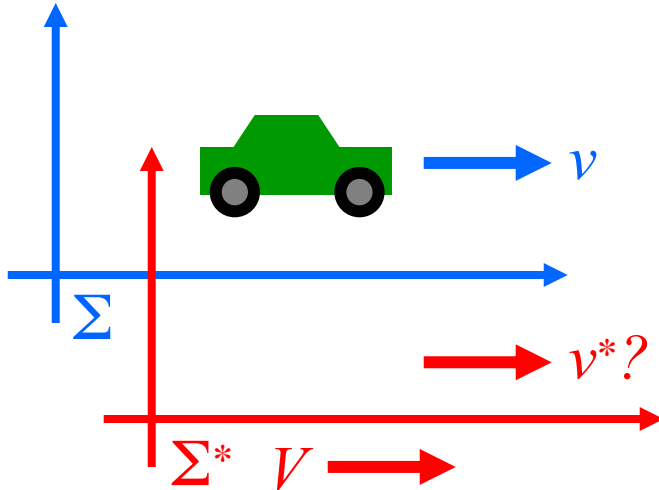


Misura dell'energia:  $\sigma_E/E = 5.7\%/\sqrt{E}$

Misura del tempo:  $\sigma_t = (57/\sqrt{E} \oplus 150) \text{ ps}$

(E in GeV)

# Cinematica: trasformazione di Galileo



Quale è la velocità della macchina nel sistema  $\Sigma^*$ ?

$$v^* = v - V$$

Impulso:

$$p = mv$$

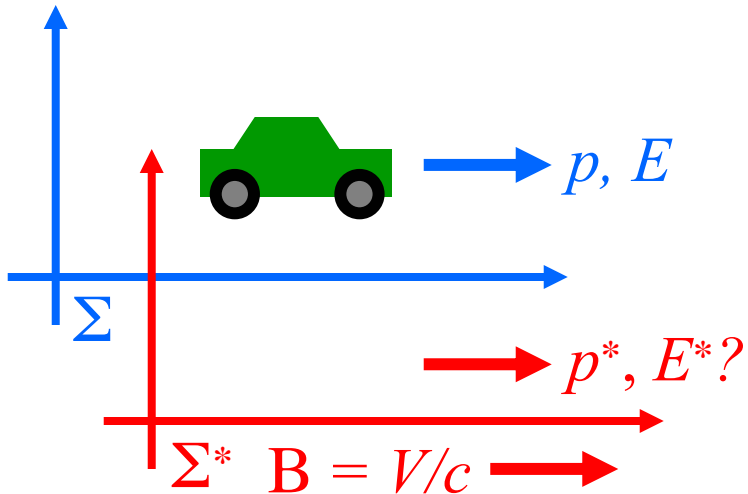
$$p^* = mv^* = m(v - V)$$

Energia cinetica:

$$T = mv^2/2$$

$$T^* = mv^{*2}/2 = m(v - V)^2$$

# Cinematica: trasformazione di Lorentz



$$\beta = v/c$$

$$\gamma = \frac{1}{\sqrt{1 - \beta^2}}$$

Sistema  $\Sigma$ :

Energia  $E$

Impulso  $p$

Velocità  $\beta = p/E$

Sistema  $\Sigma^*$ :

Energia  $E^* = \Gamma(E - Bp)$

Impulso  $p^* = \Gamma(p - BE)$

Velocità  $\beta^* = p^*/E^* = \frac{\beta - B}{1 - \beta B}$

# Relatività ristretta: energia e impulso

Classica:

$$p = mv$$

$$T = mv^2/2$$

Relativistica:

$$p = \gamma\beta mc$$

$$E = \gamma mc^2$$



Se:  $\beta = 0$   
( $\gamma = 1$ )



$$p = \mathbf{0}$$

$$E = mc^2$$

Si può verificare:

$$E^2 - p^2c^2 = [\cancel{\gamma^2} - (\gamma\beta)^2]m^2c^4 = m^2c^4$$

Da cui, ponendo  $c=1$ , si ricava:

$$E^2 = p^2 + m^2$$

Energia dall'impulso

Energia da fermo

# Vettori

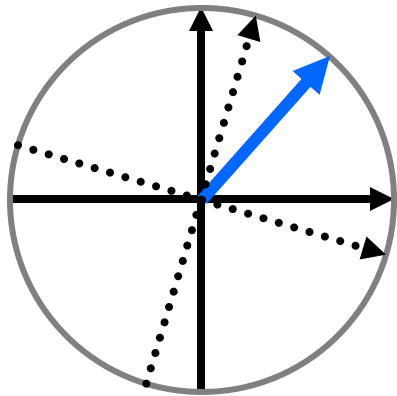
$$\mathbf{p} = \begin{pmatrix} p_x \\ p_y \\ p_z \end{pmatrix}$$

Prodotto scalare:

$$\mathbf{p}_1 \bullet \mathbf{p}_2 = p_{1x}p_{2x} + p_{1y}p_{2y} + p_{1z}p_{2z}$$

Modulo:

$$\mathbf{p} \bullet \mathbf{p} = \mathbf{p}^2 = |p|^2$$



il modulo dell'impulso ha lo stesso valore visto da ogni angolo

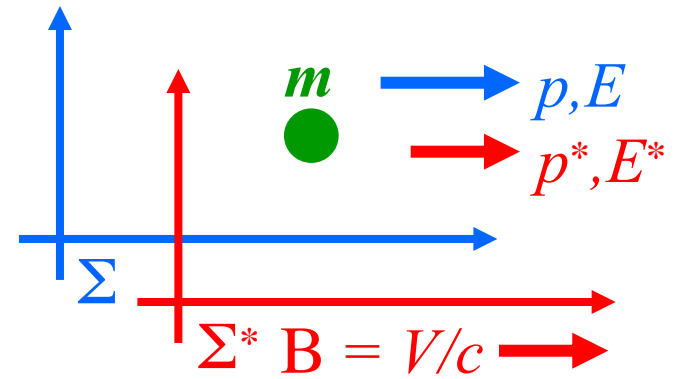
# Quadrivettori

$$p = \begin{pmatrix} E \\ p_x \\ p_y \\ p_z \end{pmatrix}$$

$$p_1 \bullet p_2 = E_1 E_2 - p_{1x}p_{2x} - p_{1y}p_{2y} - p_{1z}p_{2z}$$

$$p \bullet p = E^2 - \mathbf{p}^2 = m^2$$

la massa da ferma della particelle ha lo stesso valore in ogni sistema

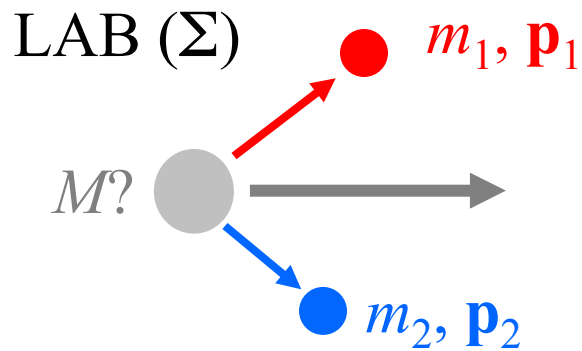


# Decadimenti

Energia totale conservata

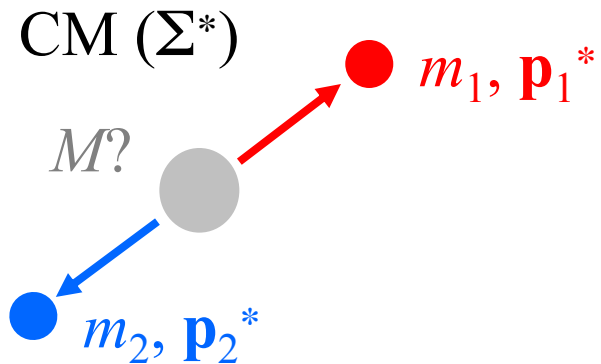
Impulso conservato componente per componente

$$\left\{ \begin{array}{l} \Sigma E_i = \Sigma E_f \\ \Sigma p_{xi} = \Sigma p_{xf} \\ \Sigma p_{yi} = \Sigma p_{yf} \\ \Sigma p_{zi} = \Sigma p_{zf} \end{array} \right.$$



Quanta massa ha la particella che decade?

E' facile da calcolare nel CM:



$$E_i = M$$

$$\mathbf{p}_i = 0$$

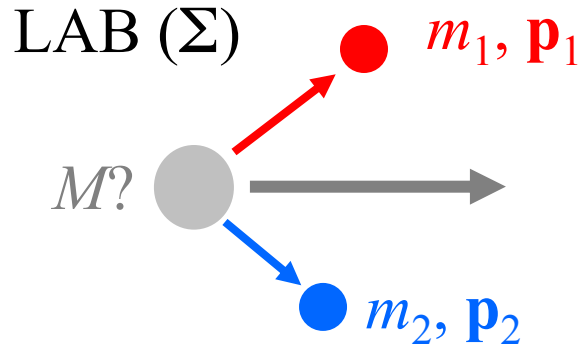
$$E_f = E_1^* + E_2^*$$

$$\mathbf{p}_1^* = -\mathbf{p}_2^* = \mathbf{p}_f^*$$

$$(p_1^* + p_2^*)_{x,y,z} = 0$$

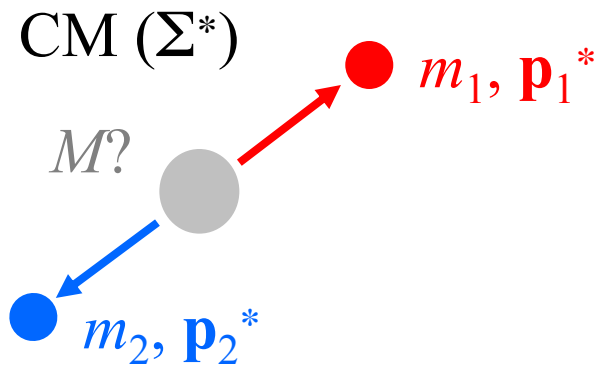
$$E_1^* + E_2^* = M$$

# La massa invariante



Possiamo anche usare quadrivettori:  
Definiamo  $P^* = (p_1^* + p_2^*)$

$$P^{*2} = (E_1^* + E_2^*)^2 - (\mathbf{p}_1^* + \mathbf{p}_2^*)^2 = M^2$$



Se conosciamo solo  $\mathbf{p}_1, \mathbf{p}_2$  nel LAB?  
Possiamo trasformare  $\mathbf{p}_1, \mathbf{p}_2$  in  $\mathbf{p}_1^*, \mathbf{p}_2^*$   
Troppo complesso!

Usiamo il prodotto scalare, che può essere valutato sia nel CM che nel LAB:

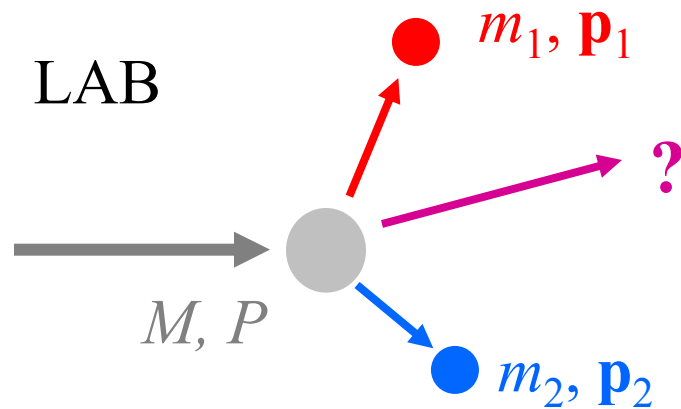
$$\underbrace{P^{*2}}_{\text{Calcolato nel CM}} = M^2 = \underbrace{(p_1 + p_2)^2}_{\text{Calcolato nel LAB}} = (E_1 + E_2)^2 - (\mathbf{p}_1 + \mathbf{p}_2)^2$$

Calcolato nel CM

Calcolato nel LAB

Massa invariante:  $M^2 = (\Sigma E)^2 - (\Sigma \mathbf{p})^2$

# La massa mancante



A volte non è possibile osservare tutti i prodotti del decadimento

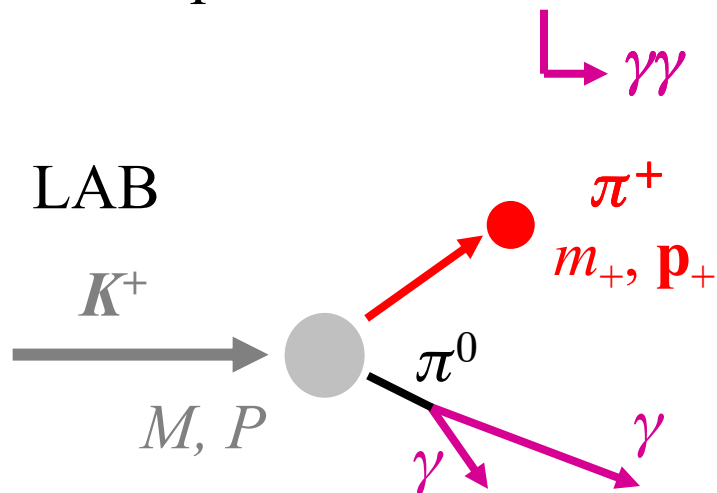
$$(\sum p)_i = (\sum p)_f \quad p_3^2 = (P - p_1 - p_2)^2$$

$$P = p_1 + p_2 + p_3 \quad \swarrow m_3^2$$

Massa mancante:  $M_3^2 = (\sum P_i - \sum P_f)^2$

$$= (\sum E_i - \sum E_f)^2 - (\sum \mathbf{p}_i - \sum \mathbf{p}_f)^2$$

Esempio:  $K^+ \rightarrow \pi^+ \pi^0$



1. Assumiamo di non vedere i fotoni:  
Quale è la massa del  $\pi^0$ ?

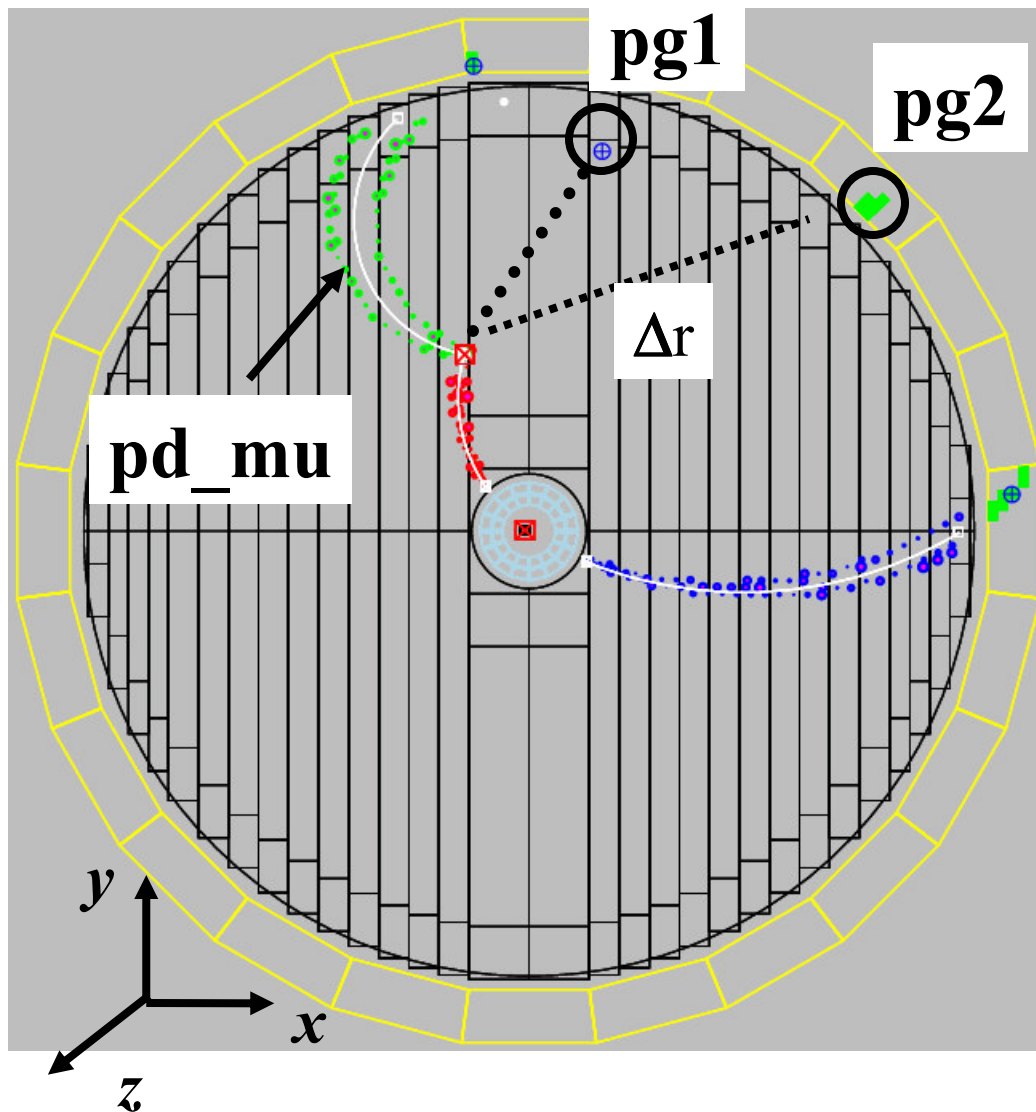
$$m_0^2 = p_0^2 = (P - p_+)^2$$

2. Assumiamo di vedere solo i fotoni:  
Quale è la massa del  $\pi^0$ ?

$$p_0^2 = (p_1 + p_2)^2 = 2E_1 E_2 (1 - \cos \theta_{12})$$



## Il campione dei dati (2)



### - **pd\_mu(3), pd\_pi(3)**

componenti x,y,z dell'impulso della particella figlia (che il piu' delle volte e' un  $\pi$  carico o un  $\mu$ ) nel sistema di riferimento del K, che si muove nel LAB con velocità  $\beta_K c = |\mathbf{p}_K|/E_K$ ; nel calcolo della TL ( $\mathbf{p}^* = \Gamma(\mathbf{p} - \mathbf{B}E)$ ), con  $E=(\mathbf{p}^2+m^2)^{1/2}$  sono tentate due ipotesi di massa per la particella figlia:  $m_\mu$  e  $m_\pi$ .

### - **pg1(3), pg2(3)**

componenti x,y,z dell'impulso delle due particelle neutre (*se esistono*) compatibili con l'essere fotoni provenienti dal vertice di decadimento del K carico ( $\Delta t = \Delta r/c$ )

1) Calcolare il modulo dell'impulso del K nel LAB:

$$|\mathbf{pk}| = \text{sqrt}(\text{pk}(1)**2 + \text{pk}(2)**2 + \text{pk}(3)**2)$$

2) Calcolare il modulo dell'impulso della particella figlia nel LAB e nel sistema di quiete (CM) del K:

$$|\mathbf{pd}| = \text{sqrt}(\text{pd}(1)**2 + \text{pd}(2)**2 + \text{pd}(3)**2) ; |\mathbf{pd\_mu}| = \dots$$

E' possibile utilizzare questi spettri di impulso per identificare i decadimenti  $K^\pm \rightarrow \mu^\pm \nu$  e  $K^\pm \rightarrow \pi^\pm \pi^0$  ?

3) Calcolare la massa mancante al vertice di decadimento del K, e confrontarla con quanto ci aspettiamo per la massa della particella figlia neutra nei decadimenti  $K^\pm \rightarrow \mu^\pm \nu$  e  $K^\pm \rightarrow \pi^\pm \pi^0$  :

$$M^2_{\text{miss}} = (E_k - E_d)**2 - \sum_{i=1,3} (\text{pk}(i) - \text{pd}(i))**2$$

E' necessaria un'ipotesi di massa per la particella figlia?

4) Calcolare la massa invariante dei fotoni (se presenti) provenienti dal vertice di decadimento del K e verificare che essa sia compatibile con la massa del  $\pi^0$ :

$$m_{\gamma\gamma} = \text{sqrt}(2E_1E_2(1 - \cos \theta_{12}))$$

$$E1 = |\mathbf{pg1}| = \text{sqrt}(\text{pg}(1)**2 + \text{pg}(2)**2 + \text{pg}(3)**2)$$

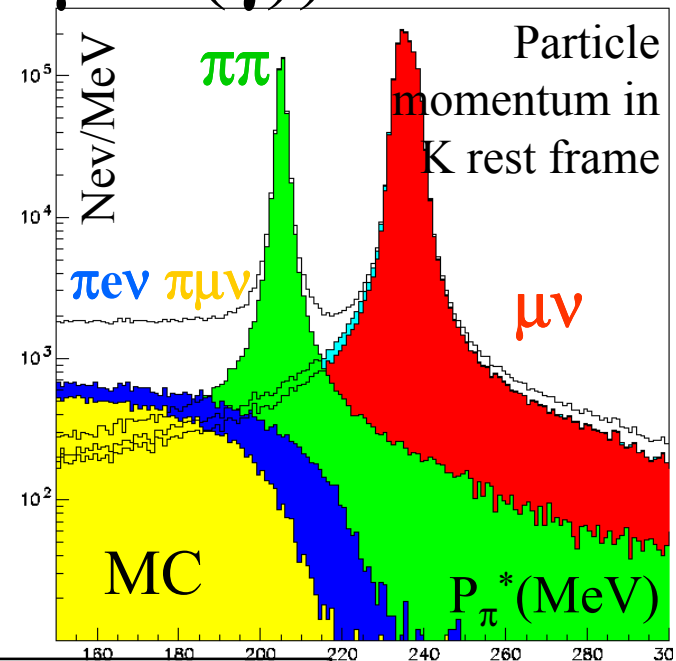
$$\cos \theta_{12} = \mathbf{pg1} \cdot \mathbf{pg2} / (|\mathbf{pg1}| |\mathbf{pg2}| )$$

5) Confrontare la massa invariante dei fotoni con la misura di massa mancante al vertice.

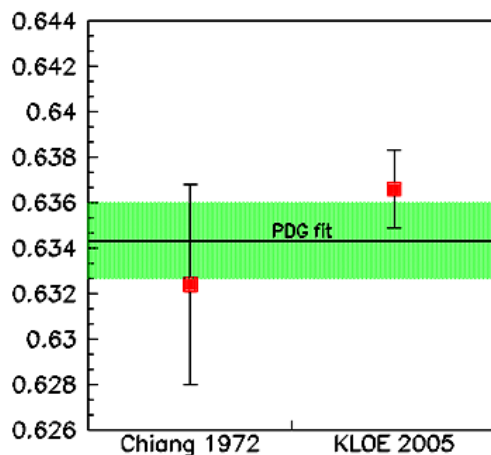
6) Calcolare la massa invariante del mesone K a partire dagli impulsi dei prodotti di decadimento del K stesso

# $V_{us}$ from $BR(K^+ \rightarrow \mu^+ \nu(\gamma))$

- Tag from  $K^- \rightarrow \mu^- \nu$ ; to reduce the tag bias, tag selection requires EMC trigger.
- 2002 data set: 1/3 used for signal selection, 2/3 used as efficiency sample
- Count events in  $(225,400)$  MeV  $p_\pi^*$  window after the subtraction of  $\pi^0$  identified background.
- Selection efficiency measured on data.
- Radiated  $\gamma$  acceptance measured on MC.



$$BR(K^+ \rightarrow \mu^+ \nu(\gamma)) = 0.6366 \pm 0.0009_{\text{stat.}} \pm 0.0015_{\text{syst.}}$$

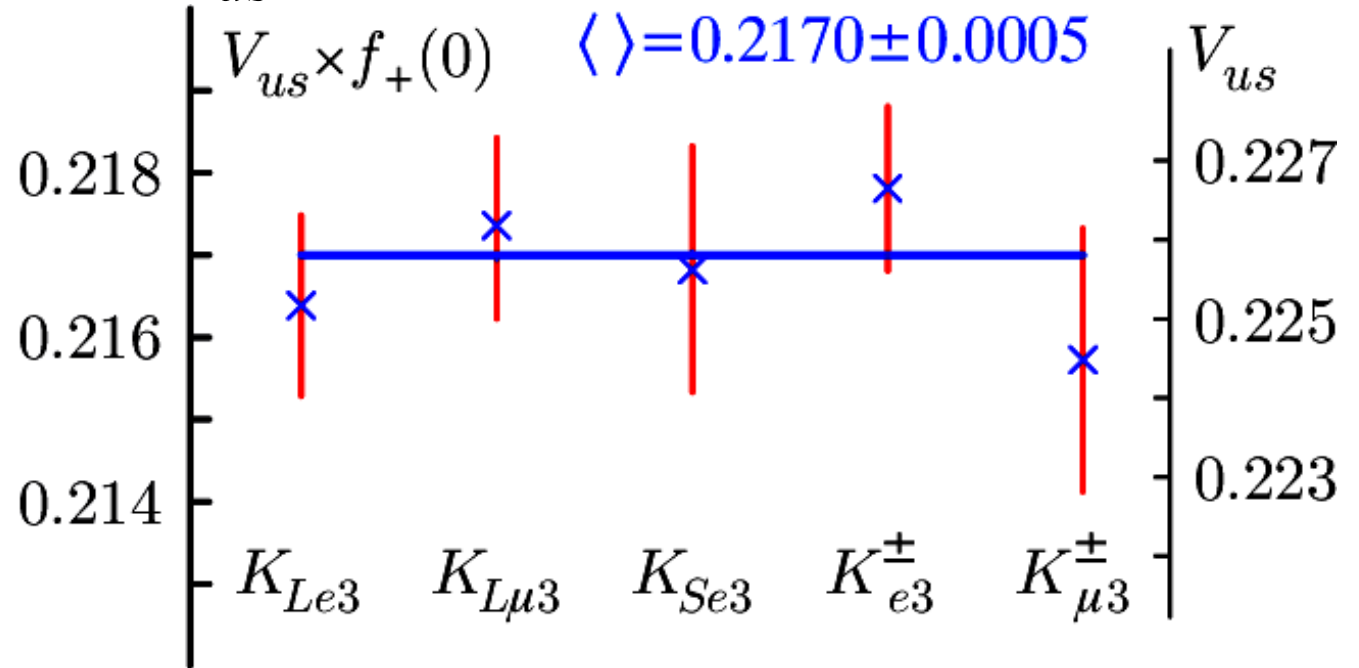


Following Marciano hep-ph/0406324 :

- $\Gamma(K \rightarrow \mu \nu(\gamma)) / \Gamma(\pi \rightarrow \mu \nu(\gamma)) \propto |V_{us}|^2 / |V_{ud}|^2 f_K^2 / f_\pi^2$
- From lattice calculations:  $f_K / f_\pi = 1.210 \pm 0.014$  (MILC Coll. hep-lat/0407028)
- $V_{ud} = 0.9740 \pm 0.0005$  (superallowed  $\beta$ -decays)

$$V_{us} = 0.2223 \pm 0.0025 \text{ KLOE preliminary}$$

# $V_{us}$ at KLOE



Using:

- $f_+(0) = 0.961(8)$  from Leutwyler and Roos
- $K_L$  lifetime from KLOE:  $\tau_L = 50.84(23)$  ns
- All BR's from KLOE:

	$K_{Le3}$	$K_{L\mu3}$	$K_{Se3}$	$K^{\pm}e3$	$K^{\pm}\mu3$
<b>BR</b>	0.4007	0.2698	0.00709	0.0505	0.0331
<b><math>\delta</math>BR</b>	0.0018	0.0012	0.00009	0.0004	0.0005

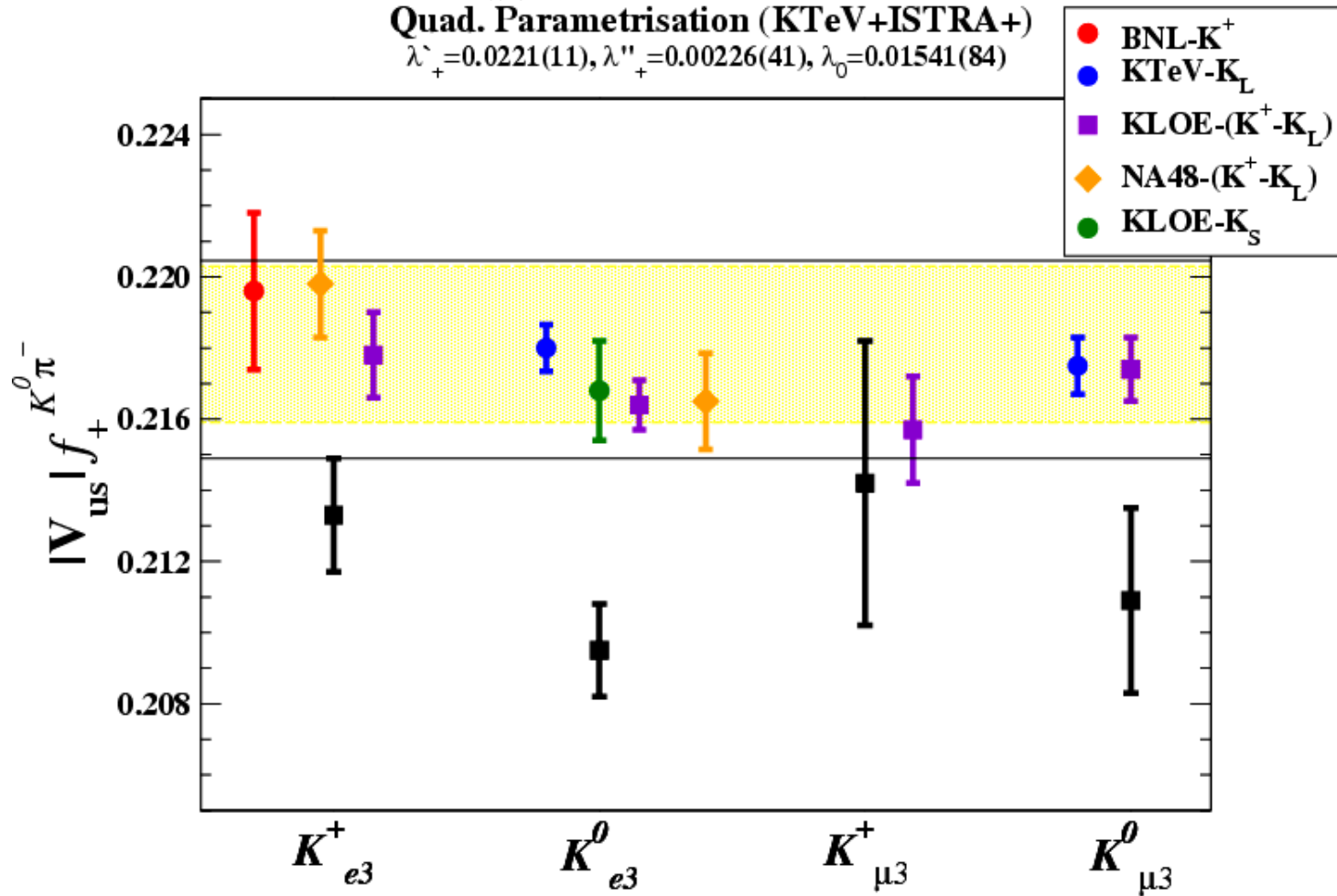
**Fitting the 5  $|V_{us}f_+(0)|$  KLOE determinations:  $\chi^2/\text{dof}=1.7/4$**

Using also KTeV inputs,  $V_{us}f_+(0)$  becomes  $0.2172(4)$

# $V_{us}$ and Unitarity

Quad. Parametrisation (KTeV+ISTRA+)

$$\lambda_+^* = 0.0221(11), \lambda_+'' = 0.00226(41), \lambda_0 = 0.01541(84)$$



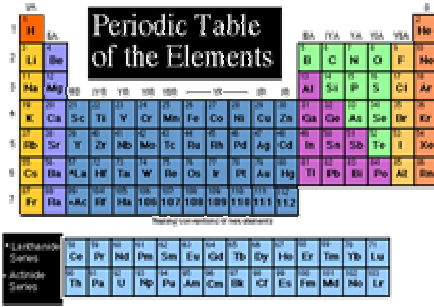
$f_+(0) = 0.961(8)$  from Leutwyler and Roos

$K_L$  lifetime from KLOE:  $\tau_L = 50.84(23)$  ns

plot: F.Mescia courtesy

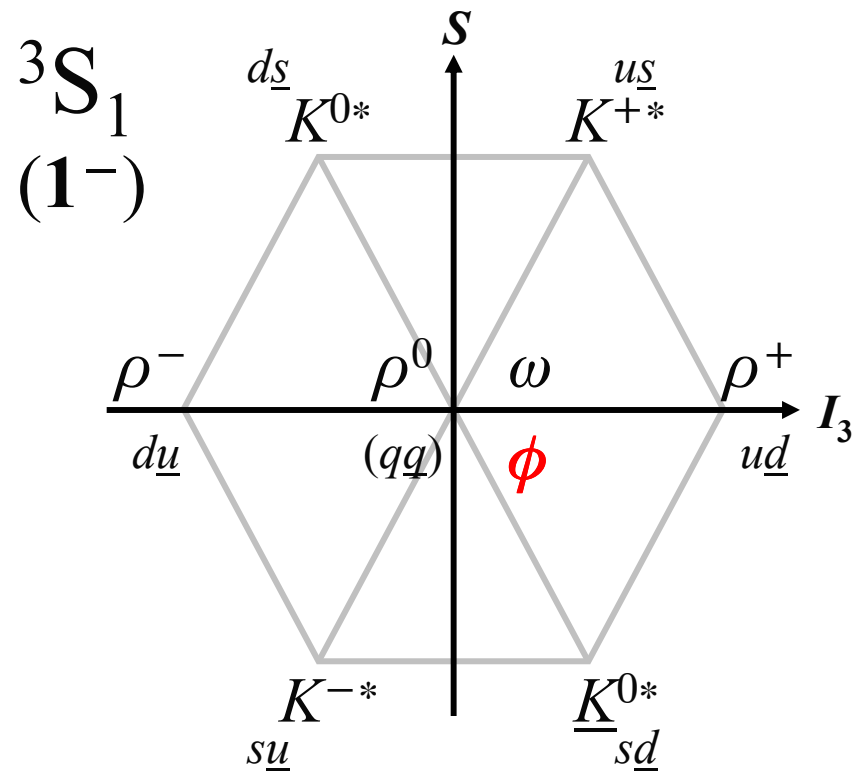
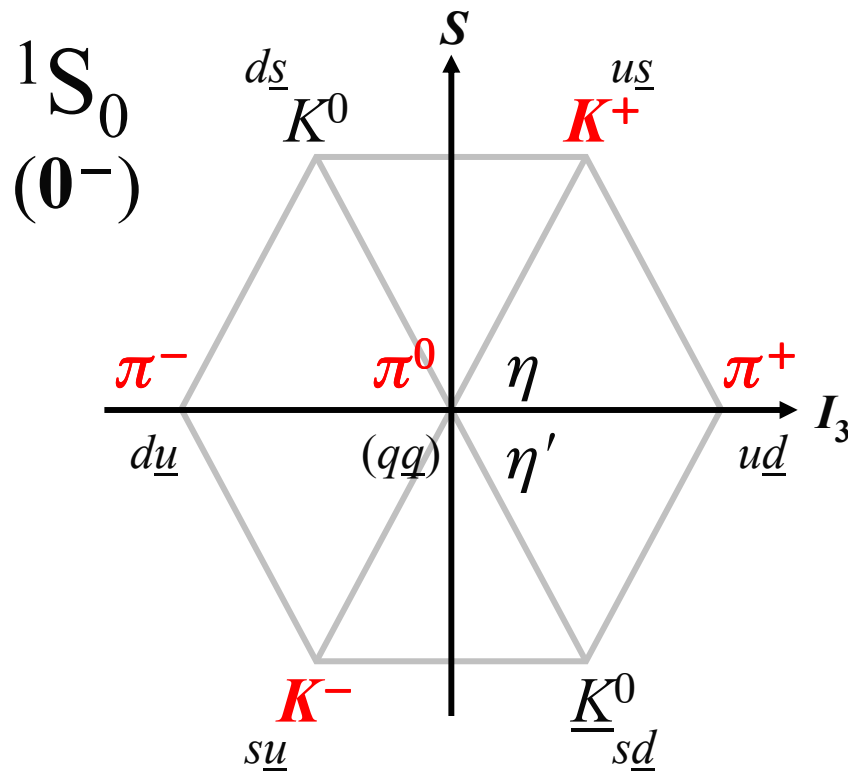
Riserva

# I mesoni e il modello dei quark



Le periodicità delle proprietà chimiche degli elementi portò alla comprensione dei loro costituenti

Lo stesso è accaduto con le particelle elementari



# Richiami sul modello standard: materia

## i Leptoni

$q = -1$	$e$	$\mu$	$\tau$
$q = 0$	$\nu_e$	$\nu_\mu$	$\nu_\tau$

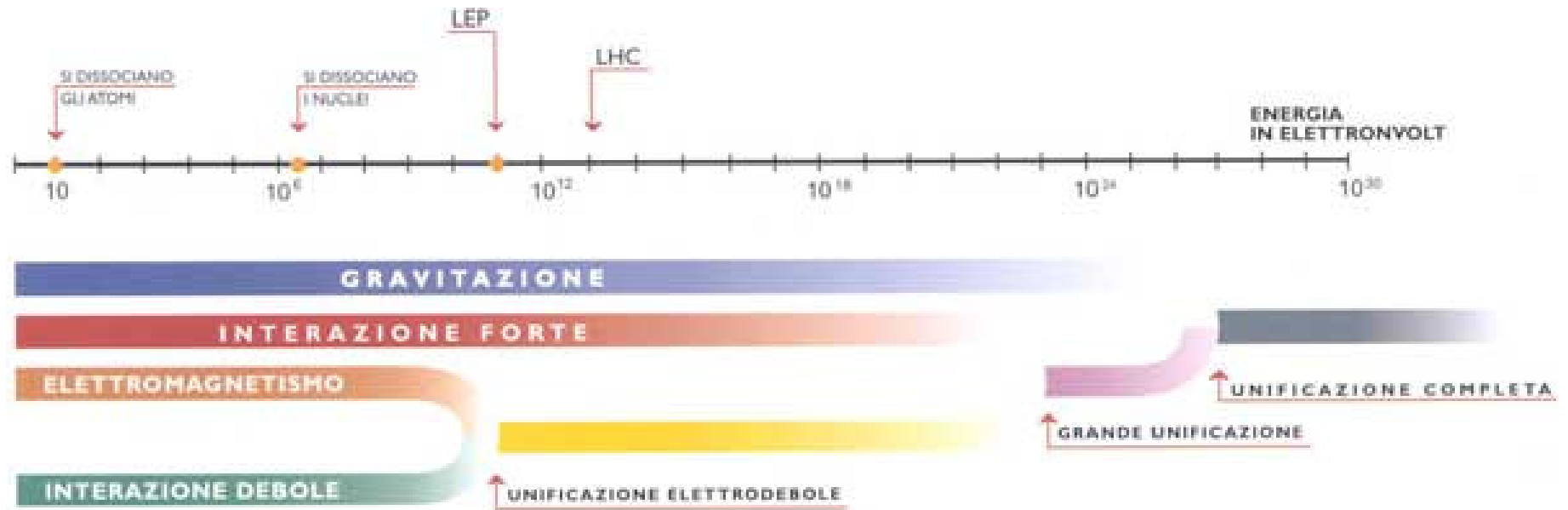
- I leptoni non possiedono colore e quindi non partecipano alle interazioni forti
- I neutrini non hanno carica elettrica e interagiscono soltanto tramite la forza debole

I neutrini hanno massa?

$$\sum_{e \mu \tau} m_\nu < 2.7 \text{ eV}$$

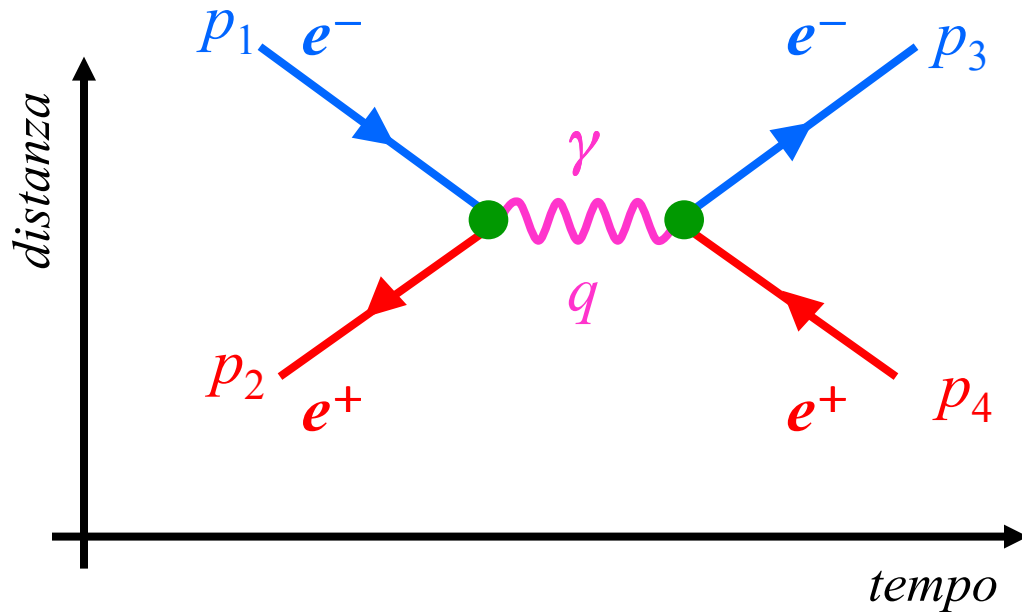
Limite necessario per spiegare la distribuzione della radiazione di fondo nell'Universo tramite la cosmologia

# Richiami sul modello standard: forze



Sviluppo cronologico  
← dell'Universo    della fisica    →

# Il modello standard e i grafici di Feynman



Non solo consentono di visualizzare un'interazione  
Facilitano anche il calcolo di  $\mathcal{M}$ :

La probabilità di

- decadimento
- interazione

è proporzionale a  $\mathcal{M}^2$

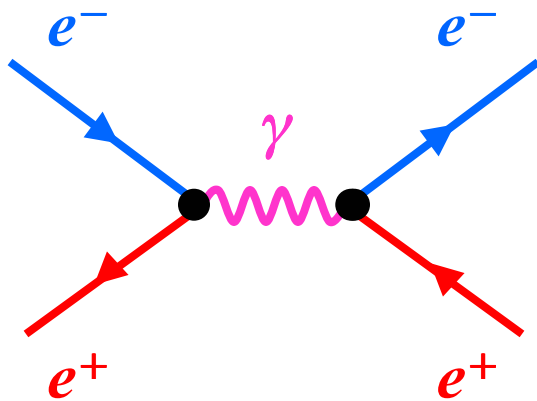
$\mathcal{M} \propto$

$$\int [\underline{u}(p_3) i g \gamma^\mu v(p_4)] \frac{-i g_{\mu\nu}}{q^2} [\underline{v}(p_2) i g \gamma^\nu u(p_1)] \times \delta^4(p_1 + p_2 - q) \delta^4(q - p_3 - p_4) d^4q$$

# Produzione del mesone $\phi$ in collisioni $e^+e^-$

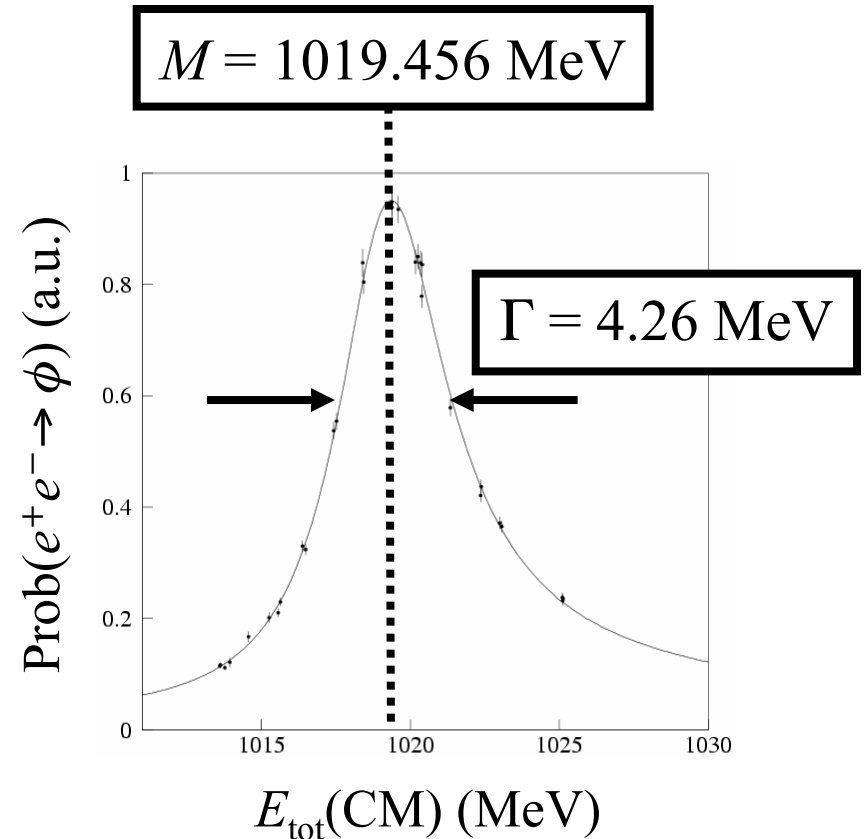
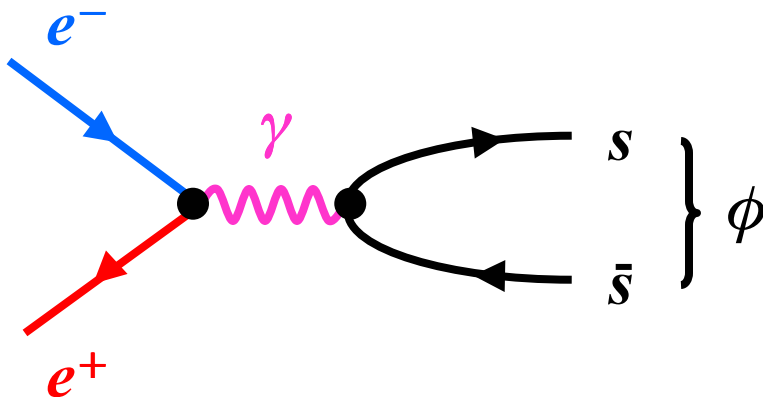
Processo non-risonante

Diffusione Bhabha:  $e^+e^- \rightarrow e^+e^-$



Processo risonante

Produzione della  $\phi$ :  $e^+e^- \rightarrow \phi$



Vita media:

$$\tau = \Gamma/\hbar$$

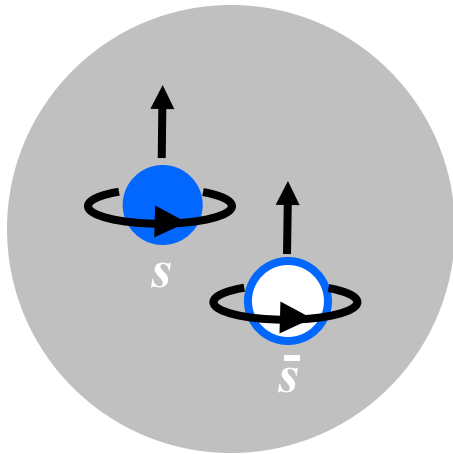
$$= 47 \text{ fm}/c$$

$$= 1.6 \times 10^{-22} \text{ s}$$

$$\hbar = 200 \text{ MeV}\cdot\text{fm}/c$$

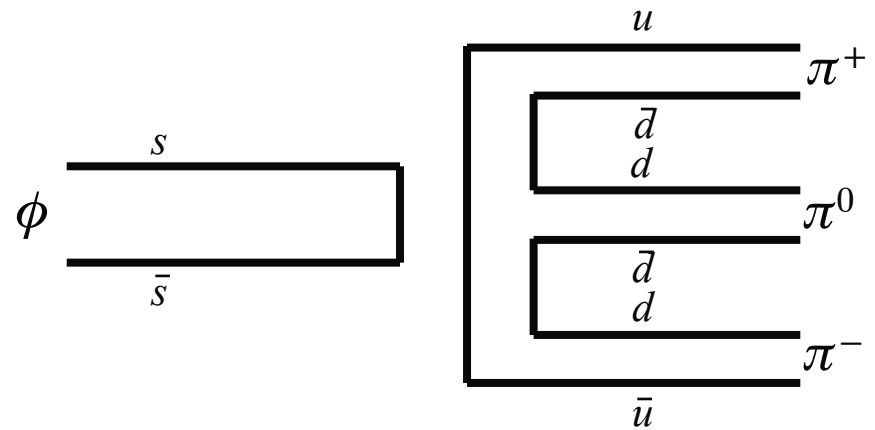
$$c = 3 \times 10^{23} \text{ fm}/\text{s}$$

# Il mesone $\phi$



Spin  
totale  
 $J = 1$

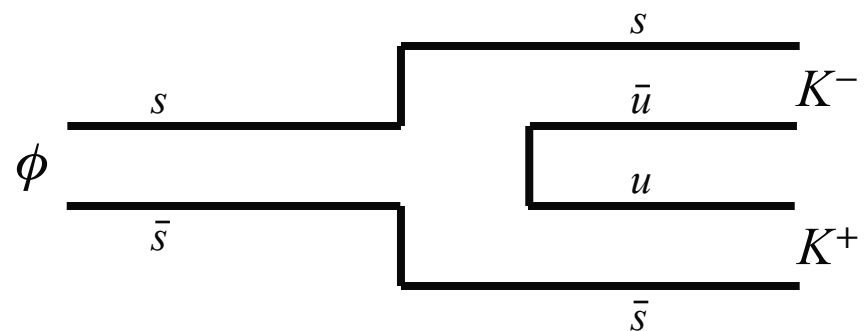
Processo OZI-soppresso:



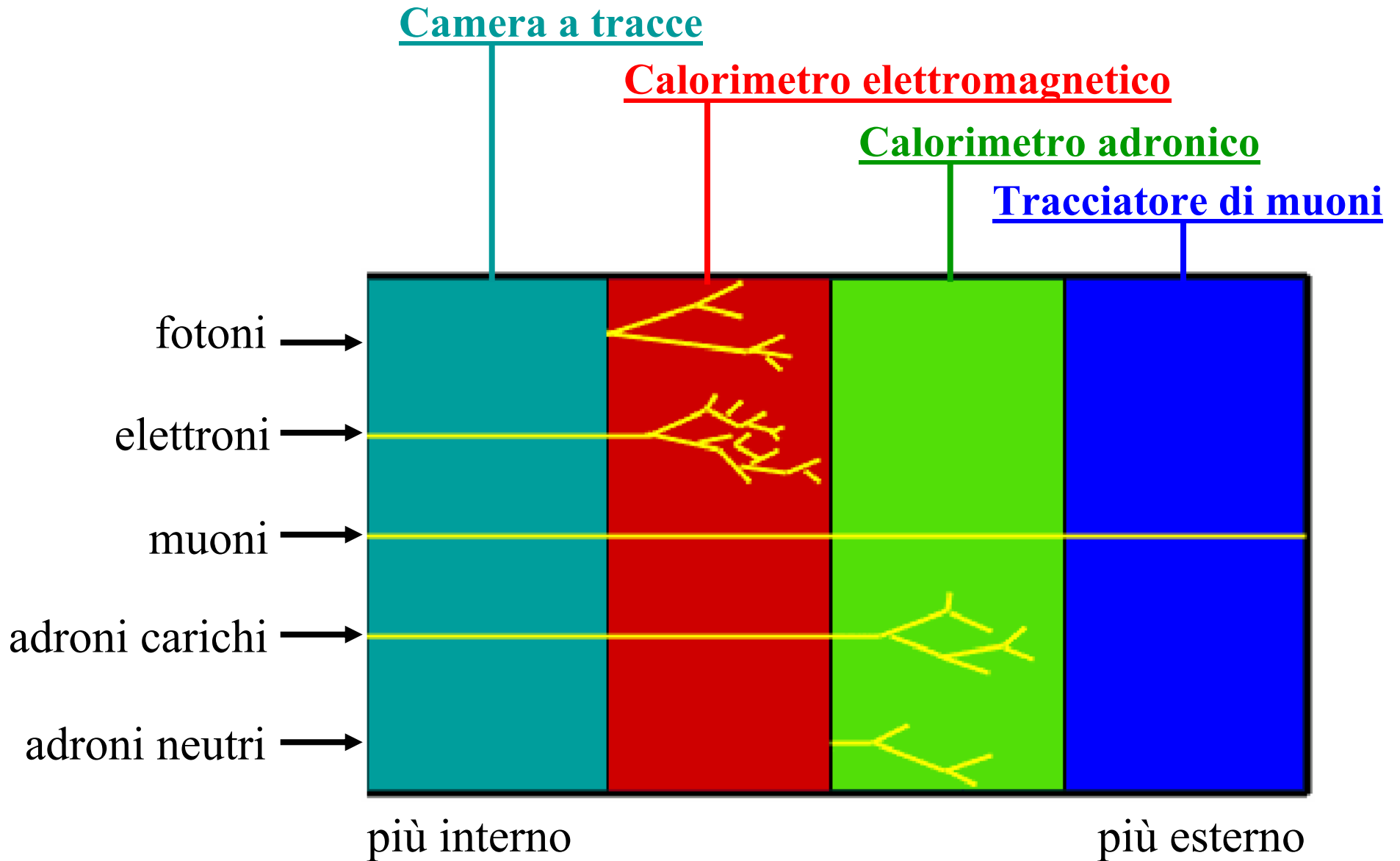
Decadimenti della  $\phi$

Modo	Prob (%)
$\phi \rightarrow K^+ K^-$	<b>49.1</b>
$\phi \rightarrow K^0 \bar{K}^0$	34.1
$\phi \rightarrow \pi^+ \pi^- \pi^0$	15.5
$\phi \rightarrow e^+ e^-$	$3 \cdot 10^{-4}$
$\phi \rightarrow \mu^+ \mu^-$	$2.5 \cdot 10^{-4}$

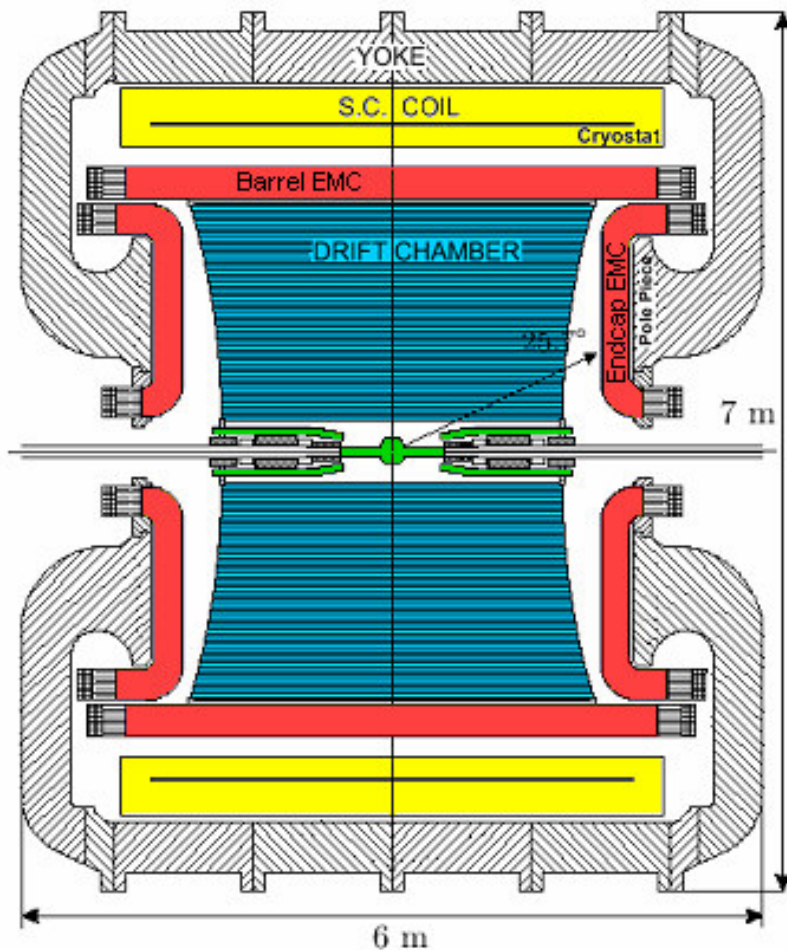
Processo OZI-favorito:



# Rivelazione di particelle



# L'esperimento KLOE



*Sezione longitudinale*

## Camera a deriva

Diametro: 4 m

Lunghezza: 3.3 m

Gas: 90% elio, 10% isobutano

52140 fili (12582 sensibili)

## Calorimetro elettromagnetico

Matrice di piombo e fibre scintillanti

Peso: più di 100 tonnellate

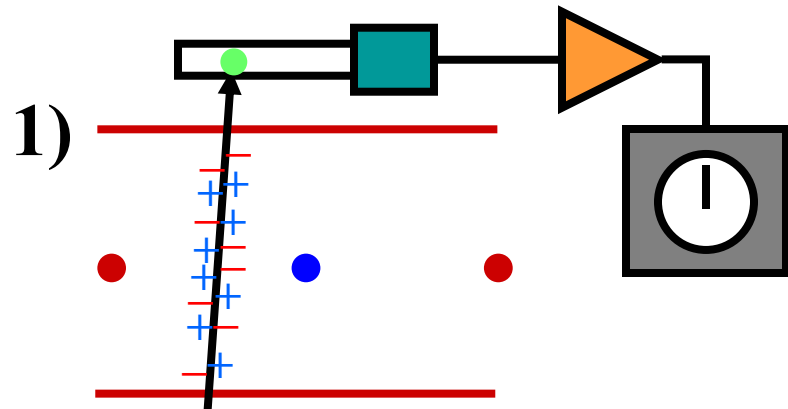
4880 canali di lettura (PMT)

## Bobina superconduttrice

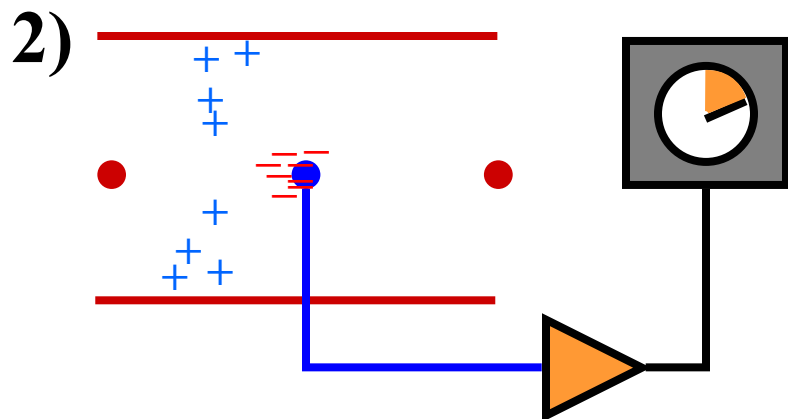
Diametro: 5 m

$B = 0.52 \text{ T}$  ( $\int B dl = 2 \text{ T}\cdot\text{m}$ )

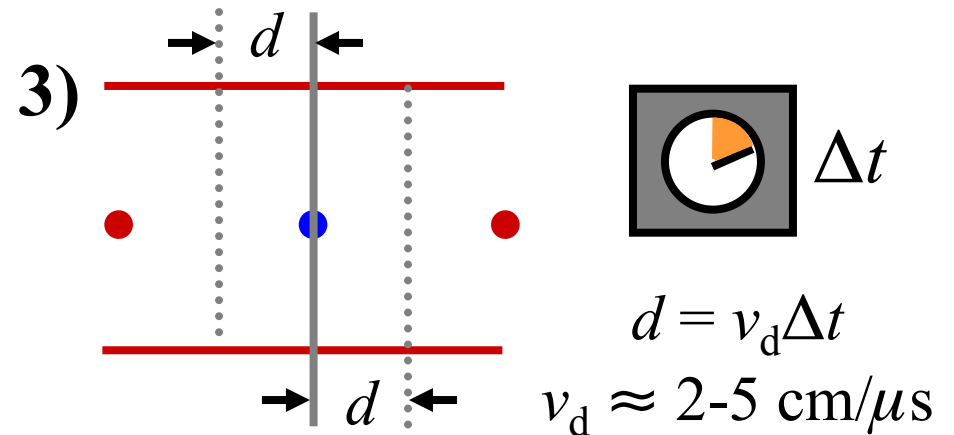
# Particelle cariche: la camera a deriva



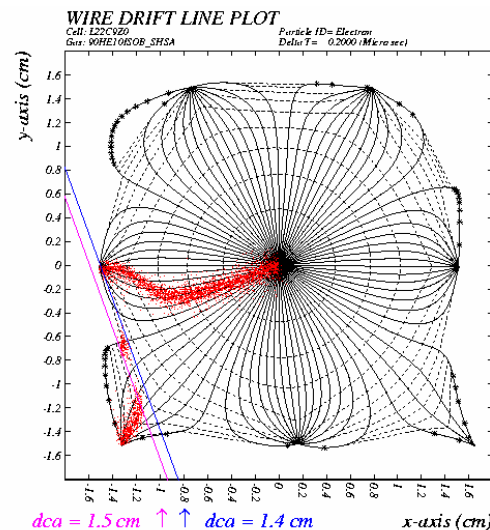
La particella passa e ionizza il gas nella camera  
Un'altro rivelatore registra il passaggio della  
particella e fa partire un timer



Gli elettroni (-) derivano verso l'anodo sotto  
l'influenza del campo elettrico applicato, dove  
registrano un segnale che ferma il timer



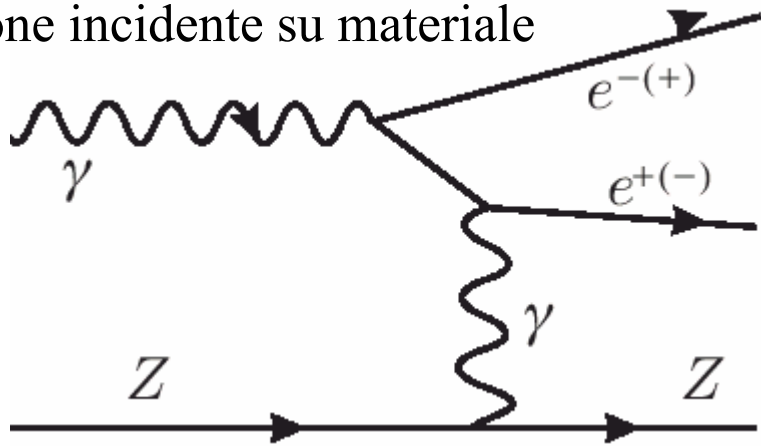
Conoscendo la velocità di deriva ( $v_d$ ), dal tempo  
trascorso si ricava la distanza della traccia dal filo  
(con un'ambiguità destra-sinistra)



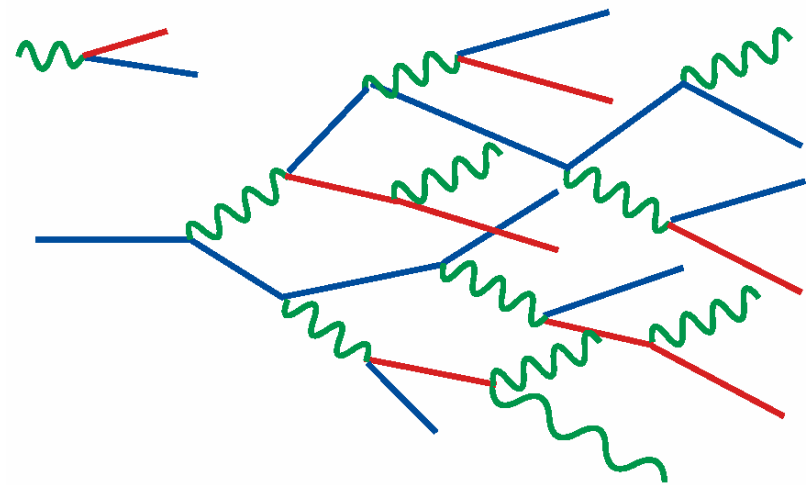
Analisi delle  
linee di deriva  
in una cella  
della camera  
KLOE

# Rilascio di energia da fotoni e elettroni

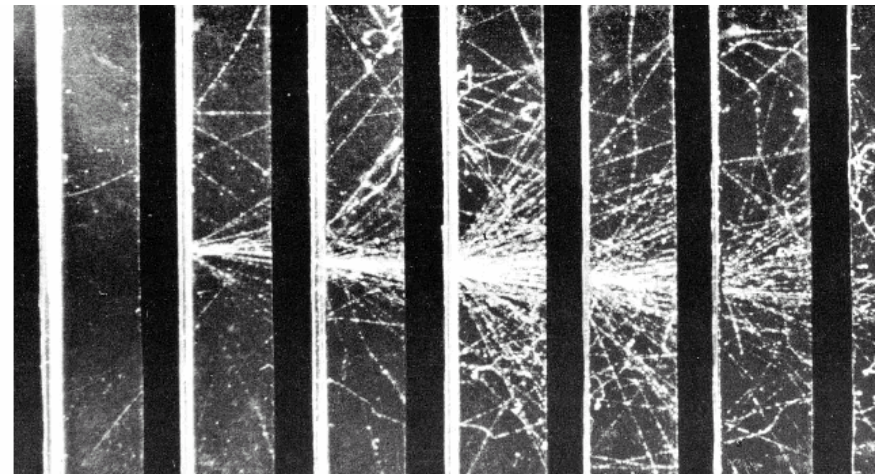
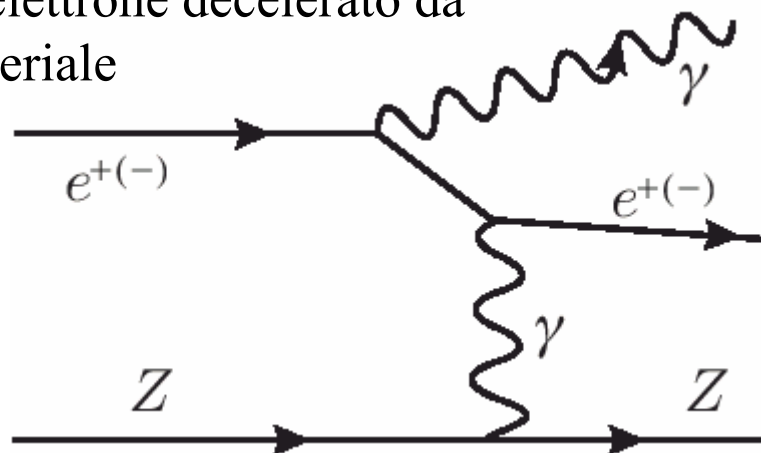
**Produzione di coppie  $e^+e^-$  da un fotone incidente su materiale**



**Sviluppo di uno sciame elettromagnetico**



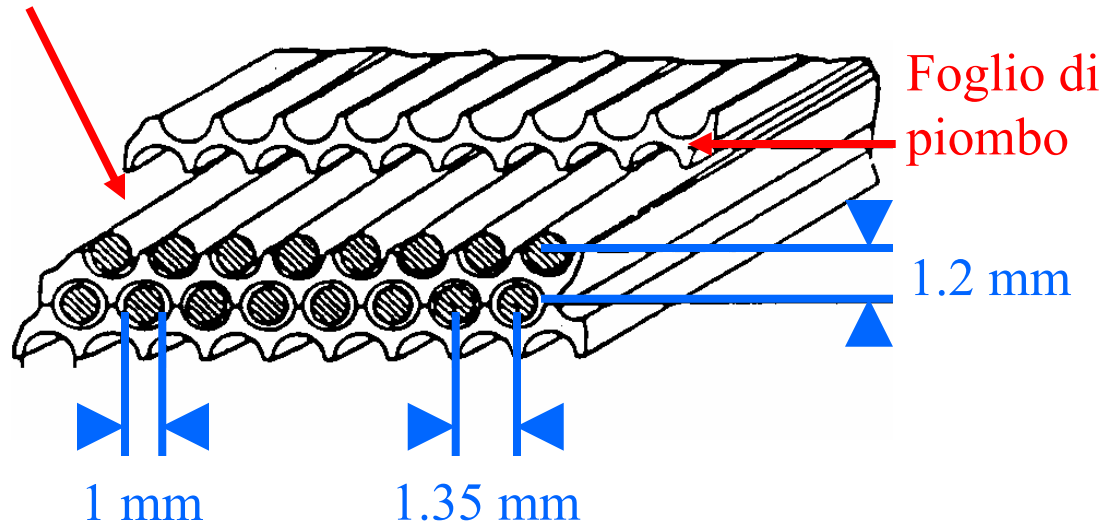
**Bremsstrahlung:** radiazione da un elettrone decelerato da un materiale



Sciame elettromagnetico osservato in una camera di Wilson

# Il calorimetro KLOE

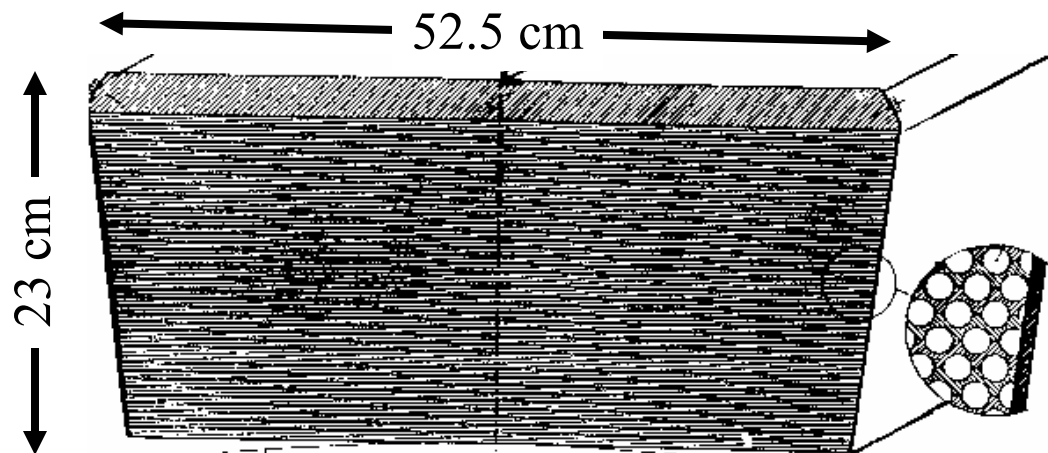
Fibre scintillanti



Composizione del modulo:  
fibre:Pb:colla = 48:42:10%

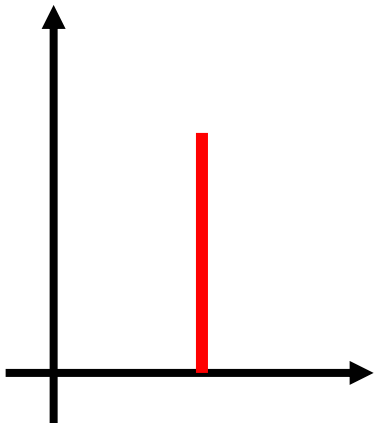
Densità: 5 g/cm<sup>3</sup>

15% ca. dell'energia della  
particella incidente viene  
convertita in luce/segnale

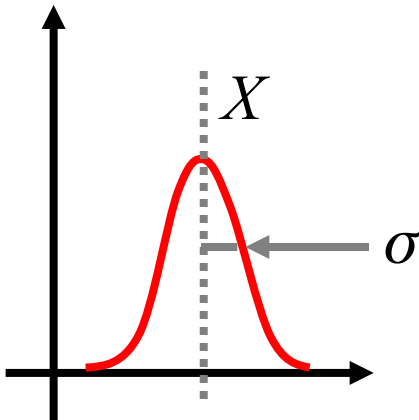


# Cenni di statistica

Distribuzione di un  
valore vero fissato



Distribuzione dei valori  
misurati



Ad ogni misura è associata un'incertezza (errore)

Gli errori sono di due tipi:

## Sistematici

andamenti dovuti a limitazioni dell'apparato sperimentale o a influenze esterne, cambiano il valore misurato

## Statistici

fluttuazioni dovute a effetti stocastici (casuali), diminuiscono la precisione della misura

Spesso si assume che le fluttuazioni **statistiche** siano descritte dalla distribuzione di Gauss

$$g(x) = \frac{1}{\sqrt{2\pi\sigma^2}} \exp\left[-\frac{(x-X)^2}{2\sigma^2}\right]$$

# Cenni di statistica

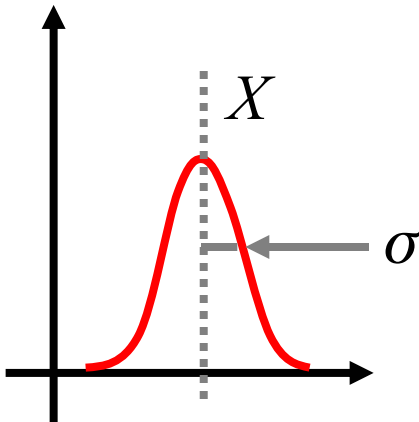
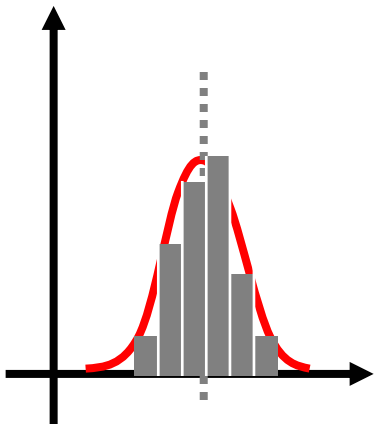
Se abbiamo  $N$  misure con fluttuazioni gaussiane, possiamo stimare:

$$X = \frac{1}{N} \sum_{i=1}^N x_i \quad \text{la media}$$

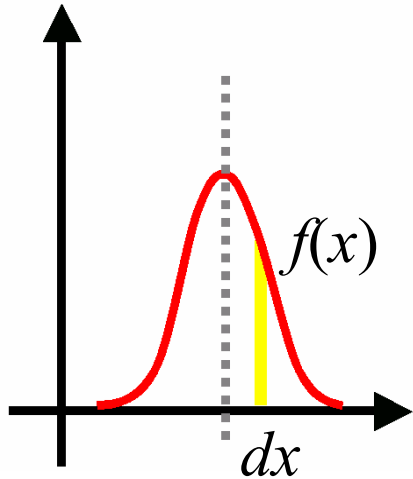
$$\sigma = \sqrt{\frac{1}{N-1} \sum_{i=1}^N (x_i - X)^2} \quad \text{la deviazione standard}$$

L'incertezza sulla media e' determinata sia dalla larghezza della distribuzione che dal numero di misure abbiamo fatto:

$$\delta X = \sigma / \sqrt{N} \quad \text{l'errore sulla media}$$



# Probabilità

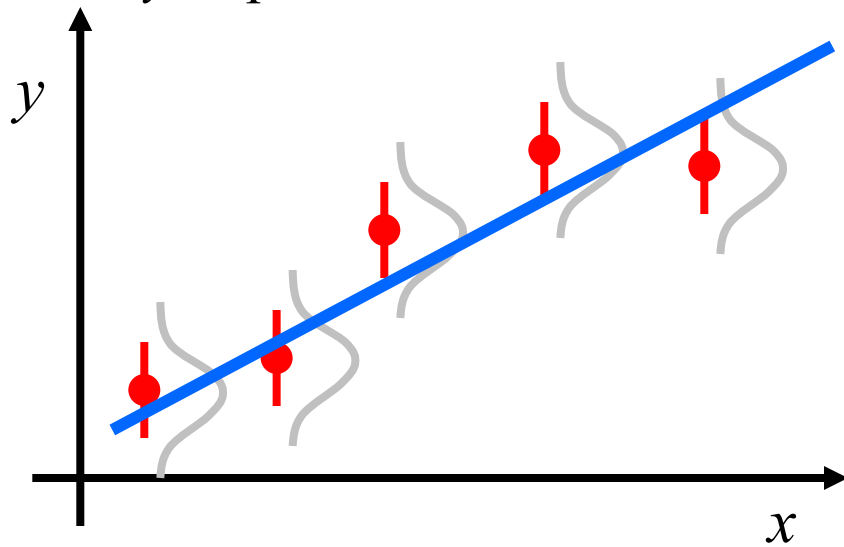


Se i valori misurati si distribuiscono secondo la gaussiana,

$$P = g(x|X, \sigma) dx$$

è la probabilità di ottenere un valore tra  $x$  e  $x + dx$  da una singola misura.

Supponiamo di avere  $N$  misure di  $y$  e di conoscere la dipendenza di  $y$  rispetto a  $x$



Il valore atteso di  $y$  per ogni  $x$  è dato da  $f(x)$

I valori di  $y$  misurati sono distribuiti intorno al valore atteso secondo la gaussiana; per ogni misura  $i$ :

$$P_i = g(y_i|f(x), \sigma_i)$$

# Probabilità congiunta e $\chi^2$

La probabilità di ottenere tutti gli  $N$  valori di  $y$  misurati è

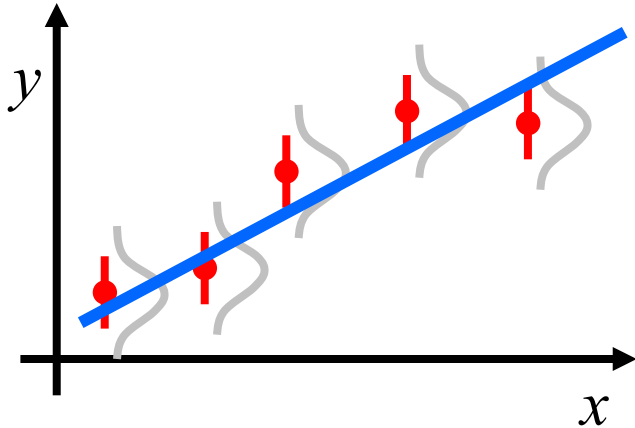
$$\begin{aligned} P_{\text{tot}} &= \prod_{i=1}^N P_i \\ &= \prod_{i=1}^N \frac{1}{\sqrt{2\pi\sigma_i^2}} \exp\left(-\frac{[y_i - f(x)]^2}{2\sigma_i^2}\right) \\ \ln P_{\text{tot}} &= \sum_{i=1}^N -\frac{1}{2} \left( \frac{[y_i - f(x)]^2}{\sigma_i^2} \right) - \frac{1}{2} \sum_{i=1}^N \ln 2\pi\sigma_i^2 \end{aligned}$$

La somma dei termini  $(\ln 2\pi\sigma^2)$  è una costante che non dipende né dai valori misurati, né dalla previsione  $f(x)$  e può essere trascurata.

Definiamo:

$$\chi^2 \equiv -2 \ln P_{\text{tot}} = \sum_{i=1}^N \frac{[y_i - f(x)]^2}{\sigma_i^2}$$

# L'uso del $\chi^2$ per fare un fit



$$\chi^2 \equiv -2 \ln P_{\text{tot}} = \sum_{i=1}^N \frac{[y_i - f(x)]^2}{\sigma_i^2}$$

Se le nostre assunzioni sono valide, in media ogni termine (che corrisponde a un punto misurato) contribuisce circa 1 alla somma  $\chi^2$

**Si può stimare che  $\chi^2/N \approx 1$**

Supponiamo che  $f$  dipenda dai parametri  $a_1, a_2, \dots, a_M$ . Conosciamo la dipendenza di  $f$  dalle  $a_k$ , ma non sappiamo i valori esatti delle  $a_k$  stesse.

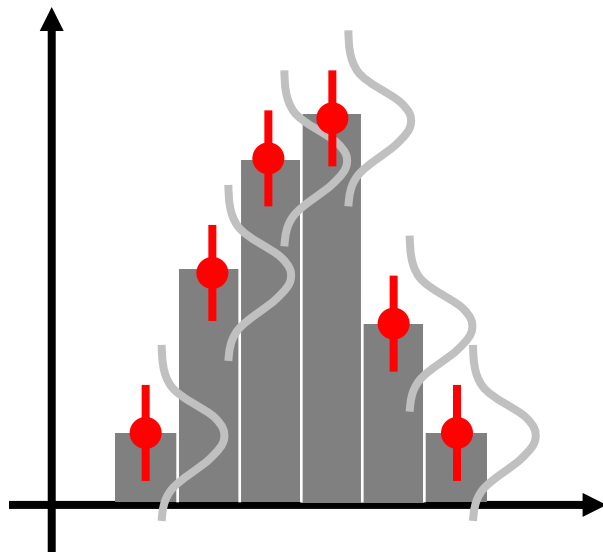
Possiamo massimizzare  $P_{\text{tot}}$  in funzione delle  $a_k$ , ovvero minimizzare  $\chi^2$ :

Imponiamo:

$$\left. \frac{d\chi^2}{da_k} = 0 \right\} \begin{array}{l} M \text{ equazioni} \\ \text{per } M \text{ valori } a_k \end{array} \quad \begin{array}{l} \text{La minimizzazione può risultare difficile.} \\ \text{Di solito si ricorre a tecniche numeriche.} \end{array}$$

Se il  $\chi^2$  viene calcolato con i migliori valori delle  $a_k$ :  $\chi^2/(N - M) \approx 1$

# Esempio: fit a una distribuzione gaussiana



Abbiamo un istogramma di  $N$  bin, ciascuno con  $n_i$  eventi

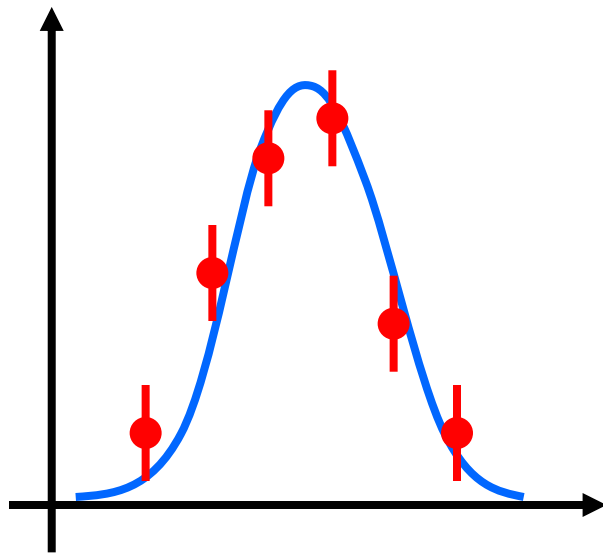
Supponiamo che l'istogramma sia descritto da una gaussiana con media  $X$  e larghezza  $\sigma$

Spesso si assume che i valori di  $n_i$  siano a loro volta distribuiti intorno ai valori veri secondo delle gaussiane con larghezza  $\sqrt{n_i}$

E' importante non fare confusione tra la "gaussianità" delle fluttazioni e dell'istogramma

Minimizzando numericamente:

$$\chi^2 = \sum_{i=1}^N \frac{[n_i - g(x | X, \sigma)]^2}{n_i}$$



si risale a  $X$  e  $\sigma$ , e ci si aspetta  $\chi^2 = N-2$